

**44809**

T.C.  
KARADENİZ TEKNİK ÜNİVERSİTESİ  
SAĞLIK BİLİMLERİ ENSTİTÜSÜ  
BİYOKİMYA ANABİLİM DALI  
YÜKSEK LİSANS PROGRAMI

**ERİTROSİT MEMBRANI PROTEİNLERİNİN  
AMONYUM SÜLFAT İLE AYRILMASI**

*Birgül VANIZOR*

**44809**

Tezin Enstitüye Verildiği Tarih :28/07/1995

Tezin Sözlü Savunma Tarihi :01/09/1995

Tez Danışmanı

: Prof.Dr. Edip KEHA

Jüri Üyesi

: Prof.Dr. Orhan DEĞER

Jüri Üyesi

: Prof.Dr. Ekin ÖNDER

Enstitü Müdürü

: Prof.Dr. Ethem ALHAN

Temmuz, 1995

TRABZON

## ***İÇİNDEKİLER***

	Sayfa No
<b>ÖNSÖZ</b>	<b>V</b>
<b>KISALTMALAR</b>	<b>VI</b>
<b>1. GİRİŞ VE AMAC</b>	<b>1</b>
<b>2. GENEL BİLGİLER</b>	<b>2</b>
<b>2.1. Membranlar Hakkında Genel Bilgi</b>	<b>2</b>
<b>2.1.1. Membranların Yapısı</b>	<b>2</b>
<b>2.1.2. Membran Proteinlerinin Sınıflandırılması</b>	<b>3</b>
<b>2.2. Eritrosit Membranı</b>	<b>4</b>
<b>2.3. Eritrosit Membranı Proteinleri</b>	<b>6</b>
<b>2.3.1. Spektrin (Bant 1, Bant 2)</b>	<b>6</b>
<b>2.3.2. Ankirin (Bant 2.1)</b>	<b>9</b>
<b>2.3.3. Adüsın</b>	<b>10</b>
<b>2.3.4. Anyon Değiştirici Protein (Bant 3)</b>	<b>10</b>
<b>2.3.5. Bant 4 Serisi Proteinler</b>	<b>12</b>
<b>2.3.5.1. Bant 4.1</b>	<b>12</b>
<b>2.3.5.2. Bant 4.2</b>	<b>13</b>
<b>2.3.5.3. Bant 4.5</b>	<b>13</b>
<b>2.3.5.4. Bant 4.9</b>	<b>13</b>
<b>2.3.6. Aktin (Bant 5)</b>	<b>13</b>
<b>2.3.7. Gliseraldehit 3 fosfat Dehidrogenaz (Bant 6)</b>	<b>14</b>
<b>2.3.8. Tropomiyozin (Bant 7)</b>	<b>15</b>
<b>2.3.9. Glikoforin</b>	<b>16</b>
<b>2.4. Proteinleri Ayırma Yöntemleri</b>	<b>18</b>
<b>2.4.1. Molekül Büyüklükleri Esasına Dayanılarak Proteinlerin Ayrılması</b>	<b>18</b>
<b>2.4.2. Çözünürlük Farklılıklarını Esasına Dayanılarak Proteinlerin Ayrılması</b>	<b>19</b>
<b>2.4.3. Spesifik Ligandları Esasına Dayanılarak Proteinlerin Ayrılması</b>	<b>20</b>
<b>2.4.4. Elektriksel Yük Esasına Dayanılarak Proteinlerin Ayrılması</b>	<b>20</b>
<b>2.4.4.1. İyon Değişim Kromatografisi</b>	<b>20</b>
<b>2.4.4.2. Elektroforez</b>	<b>20</b>
<b>2.4.4.3. Poliakrilamid Jel Elektroforezi</b>	<b>21</b>

<b>3. MATERİYAL ve METOD</b>	<b>23</b>
3.1. Kullanılan Kimyasal Maddeler, Cihazlar, Aletler ve Malzemeler	23
3.1.1. Kullanılan Kimyasal Maddeler	23
3.1.2. Kullanılan Malzemeler	24
3.1.3. Kullanılan Cihazlar ve Aletler	24
3.2. Kullanılan Çözeltilerin Hazırlanması	25
3.3. Numunelerin Toplanması	27
3.4. Kullanılan Yöntemler	27
3.4.1. Ghost Elde Edilmesi	27
3.4.2. Proteinlerin Açığa Çıkarılması	29
3.4.3. Sodyum Dodesil Sülfatın Diyalizle Uzaklaştırılması	30
3.4.4. Proteinler Amonyum Sülfatla Çöktürülmesi	31
3.4.5. Amonyum Sülfatın Diyalizle Uzaklaştırılması	32
3.4.6. Lowry Metoduyla Protein Tayini	33
3.4.7. Sodyum Dodesil Sülfat-Poliakrilamid Jel Elektroforezi	33
3.4.7.1. Jellerin Hazırlanması	34
3.4.7.1.a. Ayırma Jelinin Hazırlanması	34
3.4.7.1.b. Yığma Jelinin Hazırlanması	35
3.4.7.2. Numune Hazırlıkları ve Uygulanması	38
3.4.7.2.a. Slab Jelin Numune Uygulamaya Hazır Hale Getirilmesi	38
3.4.7.2.b. Numunenin Hazırlanması	38
3.4.7.2.c. Numunenin Kuyulara Yerleştirilmesi	39
3.4.7.3. Tank Tamponunun Doldurulması ve Elektroforezin Başlatılması	40
3.4.7.4. Slab Jelinin Tezgahtan Çıkarılması	40
3.4.7.5. Boyama ve Boya Giderme İşlemi	40
3.4.8. Boya Giderme Çözeltisinden Boyanın Uzaklaştırılması	41
<b>4. BULGULAR</b>	<b>42</b>
4.1. Lowry Metoduyla Protein Tayini İçin Kullanılan Standart Grafik	42
4.2. Ghostlarda Tespit Edilen Protein Miktarlarının Değerlendirilmesi	43
4.3. Yöntem I ile Eritrosit Membranı Proteinleri	44
4.4. Yöntem II ile Eritrosit Membranı Proteinleri	50
4.5. Yöntem III ile Eritrosit Membranı Proteinleri	53
<b>5. TARTIŞMA</b>	<b>56</b>
<b>6. SONUÇLAR VE ÖNERİLER</b>	<b>60</b>

<b>7. ÖZET</b>	<b>61</b>
<b>8. SUMMARY</b>	<b>62</b>
<b>9. KAYNAKLAR</b>	<b>63</b>
<b>EKLER</b>	<b>68</b>
<b>EK-1. Membranların Bileşimi</b>	<b>68</b>
<b>EK-2. Eritrositlerin Bileşimi</b>	<b>69</b>
<b>EK-3. Eritrosit Membranı Proteinleri</b>	<b>70</b>
<b>EK-4. Amonyum Sülfat Doygunluğu Nomogramı</b>	<b>72</b>
<b>EK-5. Eritrosit Membran Proteinlerini Amonyum Sülfatla Ayırma Yöntemleri Arasındaki Farklılıklar</b>	<b>73</b>
<b>ÖZGEÇMİŞ</b>	<b>74</b>

## **ÖNSÖZ**

Yüksek Lisans tezi olarak yapılan bu çalışma esnasında, hiç bir yardımını esirgemeyen danışman hocam Sayın Prof. Dr. E. Edip KEHA başta olmak üzere, bilgilerinden yararlandığım Sayın Prof. Dr. Orhan DEĞER'e, Sayın Prof. Dr. Ekin ÖNDER'e ve tüm bölüm arkadaşlarına teşekkürler ederim.

Temmuz, 1995

Birgül VANIZOR

## ***KISALTMALAR***

Ank	: Ankirin
CPDA	: Sitrat Fosfat Dekstroz Adenin
E.C.	: Enzim Kodu
EDTA	: Etilen Dinitriilo Tetra Asetik Asit
GP	: Glikoprotein
G3PDH	: Gliseraldehit 3-Fosfat Dehidrogenaz
I	: İntegral
Kd	: Ayışma Sabiti
kda	: Kilo dalton
M	: Molarite
MA	: Moleküler Ağırlık
P	: Periferal
PAGE	: Poliakrilamid Jel Elektroforezi
PAS	: Periodik Asit-Schiff
SDS	: Sodyum Dodesil Sülfat
TEMED	: N,N,N',N'-Tetrametilen Diamin
$\mu$	: Mikro

## **1. GİRİŞ VE AMAÇ**

Eritrosit membranı proteinleri ile yapılan sodyum dodesil sülfat poliakrilamid jel elektroforezinde (SDS-PAGE'de) yaklaşık 10-12 protein bandı gözlemebilmiştir. Bu protein bantlarının her biri eritrosit membranı için oldukça önemli fonksiyonlara sahiptir. Bunlardan anyon değiştirici protein (bant 3), protein 4.5, tropomiyozin (bant 7) ve glikoforin integral, spektrin (bant 1 ve 2), ankırın (bant 2.1), protein 4.1, 4.2, 4.9, aktin (bant 5) ve gliseraldehit 3 fosfat dehidrogenaz (bant 6) periferal proteinlerdir (1,2).

Spektrin, aktin, protein 4.1 ve 4.9 membran iskeletinin özünü oluşturmaktadır (1,3). Spektrin, sitoplazmik yüzeyde bulunarak, membran iskeletinde ağımsı bir yapı meydana getirir, membranın şeklini ve dayanıklılığını sağlar (4,5). Ayrıca, protein 4.1, aktin, ankırın ve kendi kendini bağlama bölgesi olmak üzere dört bağlama bölgesi vardır (2). Anyon değiştirici protein, ankırın vasıtısıyla membran iskeletine takılı olup,  $\text{Cl}^-$  ve  $\text{HCO}_3^-$  anyonlarının antiport geçişinden sorumlu olan bir proteindir (1,6). Burada, anyon transportunun düzenlenmesinde, protein 4.2 önemli rol oynamaktadır (7). 4.1a ve 4.1b şeklinde iki altbirimden meydana gelen protein 4.1, glikoforinin sitoplazmik yüzeyini, spektrin-aktin kompleksine bağlamaktadır (8). Aktin, spektrin tetramerlerini bağlayarak iskelet ağıının oluşumunda, aktin monomerlerinin içinde yer alarak integral protein sıfatı alan tropomiyozin ise aktin moleküllerinin birarada tutulmasında rol oynar. Ayrıca protein 4.9 ve adusin aktinle birarada yer alarak iskelet ağıının stabilleşmesinde rol oynarlar. Gliseraldehit 3-fosfat dehidrogenaz (E.C. 1.2.1.9), anyon değiştirici proteinin amino ucuna yerleşmiş oksidasyondan sorumlu glikolitik bir enzimdir (2).

Biz çalışmamızda, eritrosit membran proteinlerini, farklı  $(\text{NH}_4)_2\text{SO}_4$  doygunluklarında ayırarak, hangi doygunlukta hangi protein bantlarının gözlemebildiğini ve tüm bantları verebilen doygunluğun hangisi olduğunu belirlemek, amonyum sülfatla protein çözeltileri uzun süre bekletmenin ve EDTA'nın eritrosit membranı proteini elektroforezi sonuçlarını nasıl etkilediğini gözlemlemek istedik. Bununla, eritrosit membranı proteinlerinin yapısını ve miktarını etkileyebilecek durumlarda bu proteinlerin kolayca belirlenebileceği bir metod geliştirmeyi amaçladık.

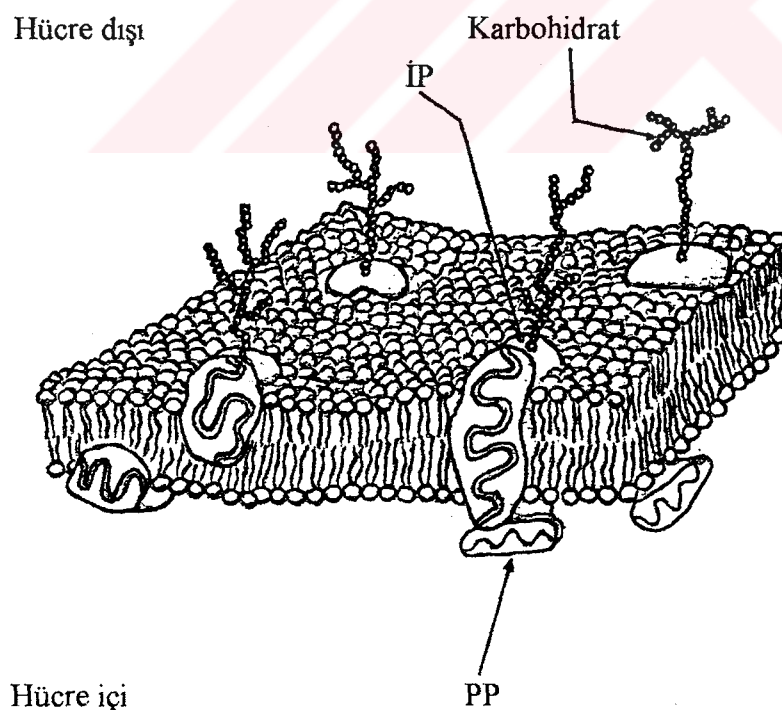
## 2. GENEL BİLGİLER

### 2.1. Membranlar Hakkında Genel Bilgi

#### 2.1.1. Membranların Yapısı

Plazma membranı, lipid ikili tabaka şeklinde hücrenin sitoplazmasını sararak hücreyi dış ortamdan ayıran, pekçok fizyolojik olayın meydana geldiği, 60-100 Å° kalınlığında, bileşenleri sürekli olarak membran düzleminde hareket eden kompleks ve dinamik bir yapıya sahiptir(4,9).

1972 yılında S. Jonathan Singer ve Garth Nicolson, kimyasal ve elektron mikroskopu ile çalışmalar yapmış, membran protein ve lipidlerinin difüzyon özelliklerinden faydalananmış ve her membranda rastlanan lipid ikili tabakası benzerliklerinden dolayı, biyolojik membranlar için "Akıcı Mozaik Modeli"ni ileri sürmüşlerdir. Bu modelin temelinde, membranların düzenlenmiş globuler proteinler ve lipidlerin iki boyutlu çözeltileri olduğu fikri yatar (Şekil 2.1) (10,11,12).



*Şekil 2.1. Membran Yapısının "Akışkan Mozaik Modeli". IP, integral proteinleri ve PP de periferal proteinleri göstermektedir (4).*

Modelin Özellikleri Şunlardır;

- a) Pekçok fofolipid ve glikolipid molekülleri lipid ikili tabakada yer almaktadır. Bu ikili tabaka, proteinler için bir çözücüdür ve geçirgenlik bariyeridir.
- b) Membran lipidlerinin çok az bir kısmı bazı membran proteinleriyle etkileşerek muhtemelen onların aktifleştirilmesinde rol oynarlar.
- c) Membran proteinleri lipid matriksinde yanal olarak yayılırlar. Fakat membranın bir yüzeyinden diğer yüzeyine dönme serbestlikleri yoktur (9,12).

Polar lipid tabakalarının polar olan baş kısımları membranın dış yüzeyine dönük fakat doymuş ve doymamış yağ asitlerinden meydana gelmiş hidrofobik kuyruk kısımları membranın içine dönük olup, hücrenin normal sıcaklığında akıcı halde bulunmaktadır. Hidrofobik yan zincir ihtiva eden aminoasitleri yüzeyinde taşıyan integral membran proteinleri, lipid tabakasının ortasındaki hidrofobik bölgede yer alırken, hidrofilik yan zincir ihtiva eden amino asitleri yüzeyinde taşıyan periferal membran proteinleri, polar baş kısımlarıyla elektrostatik etkileştiği membranın dış yüzeyinde bulunur (6,9,13).

Biyolojik membranların en önemli lipid bileşenleri fosfolipidler (fosfoglisiderler ve sfingomiyelin) glikolipidler ve kolesteroldur. Bu lipidler membranda yapısal rol oynarlar. Proteinler ise membran lipidleriyle kooperatif nonkovalent olarak etkileşerek dinamik rol oynamaktadırlar. Membran üzerindeki dinamik fonksyonlar arttıkça protein oranında artmaktadır (Tablo Ek-1) (1).

Hidrokarbon ve yağ asitleri enerji koruma gereğinden dolayı dış tarafa itilmiştir. Yine membranın dış kısmında yer alan glikoproteinler membrana antijenik bir özellik kazandırırlar. Çoğu enzimlerin aktivitelerini gerçekleştirdiği yer alan membranlar, mitokondride oksidatif fosforilasyon ve kloroplastlarda fotosentez olmak üzere iki önemli enerji dönüşümüne de ortam sağlarlar. Plazma membranları, endositoz ve eksositozla hücrenin içi ve dışı arasındaki madde alışverisini de sağlarlar. Dış ortamdan gelen tüm kimyasal ve elektriksel sinyalleri tanıyan reseptörlere de sahiptirler (12,14).

Hücre hayatıyetini devam ettirebilmesi için iç ortamdaki bazı maddelerin sabit konsantrasyonda tutulması dışarıdan içeriye veya içерiden dışarıya bazı maddelerin geçmesi gerekmektedir. Bu geçiş membranların yapısında yer alan kapı ve pompalarla gerçekleştirilir. Ayrıca membranın iki yüzeyindeki yüklü gruplar da, membran potansiyellerini meydana getirirler (1,9).

## ***2.1.2. Membran Proteinlerinin Sınıflandırılması***

Membranlar üzerinde proteinler iki türlü yerleşmiştir:

- a) **Periferal proteinler:** Oldukça hidrofilik olan periferal proteinler, membranlara elektrostatik ve hidrojen bağı etkileşmeleriyle bağlandığından düşük iyonik şiddetle veya pH değişikliği ile ortadan kaldırılabilirler. Uygun kromotografik metodlarlarda ayırtılırlar.

**b) Integral proteinler:** Hidrofilik bölgesi suya bakan kısmı ve hidrofobik bölgesinde lipid matriksine gömülü kısmı ile amfifilik özellik taşır. Bu proteinler, farklı yük ve yapılardaki lipidlerle kaynaşırlar. Bu proteinleri membrandan ayırtmak, apolar etkileşmeleri deterjan veya organik çözücülerle yemek suretiyle mümkün olur (9,11).

İntegral membran proteinleri 4 sınıfı toplanabilir (Şekil 2.2) (15-16).

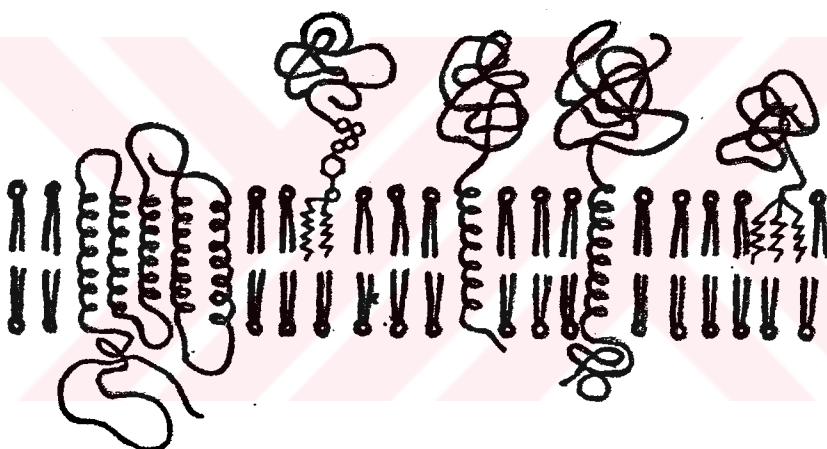
Sınıf 1: Birden fazla  $\alpha$ -sarmal ile lipid ikili tabakaya gömülüdürler. Bu  $\alpha$ -sarmaller polar lipidlerle bağlanırlar.

Sınıf 2: Polipeptip zincirinin C-terminal ucu karbohidrat birimine takılmıştır. Bu karbohidrat birimi de fosfatidil inositola takılmıştır.

Sınıf 3: Tek  $\alpha$ -sarmal ikili tabakayı katetmemektedir.

Sınıf 4: Polipeptid zincirinin N-terminal ucu, yağ açılı veya diaçil gliserol kısımlarına kovalent olarak takılmıştır.

Sınıf I              Sınıf II              Sınıf III              Sınıf IV



**Şekil 2.2.** İntegral membranı proteinlerinin yapısal tipleri (11).

## 2.2. Eritrosit Membranı

Eritrositler yapı ve fonksiyon bakımından diğer hücrelerden farklıdır. Kılcal arteriolere doğru gittikçe yüksek basınç ve hız altında şiddetli çalkantı ve sürtünme kuvvetine maruz kalan eritrositler, ömrüleri olan 120 gün boyunca her 12 dakikada bir bu stres altında dalağa gelmek zorundadırlar. Eritrositler korunmak için öyle bir yapıya ihtiyaç duyarlar ki, bu da çift lipid tabakası altında bulunan ve çeşitli proteinler vasıtasiyla lipid ikili tabakasına bağlanan ve eritrositlere bikonkav şeklini veren membran iskeleti sitoskeletondur. Membran iskeleti vasıtasiyla, eritrositler esnek ve dayanıklı bir yapı kazanırlar. Eritrosit membranını diğer hücre membranlarından ayıran fark budur (1,9,17,18).

Eritrosit membranı, lipidler ve proteinlerden oluşur ve bu yapılar intraselüler oluşumların regulasyonu için yüksek derecede seçici ve geçirgen bir bariyer teşkil eder. Membranın yoğunluğu  $1.15 \text{ g/cm}^3$ , yüz alanı  $10 \mu\text{m}^2$  ve kalınlığı ise  $75 \text{ Å}$ dır (19). Membranda yaklaşık %50 protein, %40 lipid ve %10 karbohidrat bulunmaktadır. Eritrositlerin su ve protein muhtevası Tablo EK 2.1'de ve eritrosit membranı lipid bileşimi ise Tablo EK 2.2'de verilmiştir.

Fosfolipidlerin  $\alpha$ -C'unda fosforik asitle esterleşmiş gliserol molekülü polar baş grubu ve iki uzun zincirli yağ asidide hidrofobik kuyrukları oluşturur. Lipid yapısı spesifik bir amaç için sabitleşmedikçe membranda rahatça hareket edebilir. Bu durum iç ve dış lipid tabakaları arasında asimetrik bir dağılım meydana getirir. Fosfoglisericit, fosfatidilkolin ve sfingomyelin dış tarafta, fosfatid etanolamin, fosfatid inositol ve fosfatidil serin iç tarafta bulunma meylindedirler ve böylece iç yüzeyde fazladan pozitif yük doğar (16,20). Bu asimetri, lipidler ve içteki protein ağı arasındaki ilişkide rol oynar. Kolesterol, iç ve dış tabakada eşit olarak dağılmıştır ve membran rijititesinin sağlanması rol oynamaktadır (4).

Eritrosit membranı proteinlerinin elektroforetik hareketliliği, SDS-PAGE ile izlendiğinden yaklaşık 12 bant gözlenebilmektedir. Bunlardan 3, 4.5, 7 ve PAS bantları integral, diğerleri ise periferal proteinlerdir (Şekil 2.3) (12,18,21). Bu proteinlerin özellikleri ve fonksiyonları bölüm 2.3'de ayrıntılı olarak ve EK-3'de de özet olarak verilmiştir.

Moleküler düzeyde 2,3 bisfosfoglycerat ve ATP, spektrin-aktin etkileşmelerini dramatik olarak inhibe ederler. Tüm iskelet proteinlerinin hemen hepsi, bir veya birkaç protein kinazla fosforile olur (2,20).

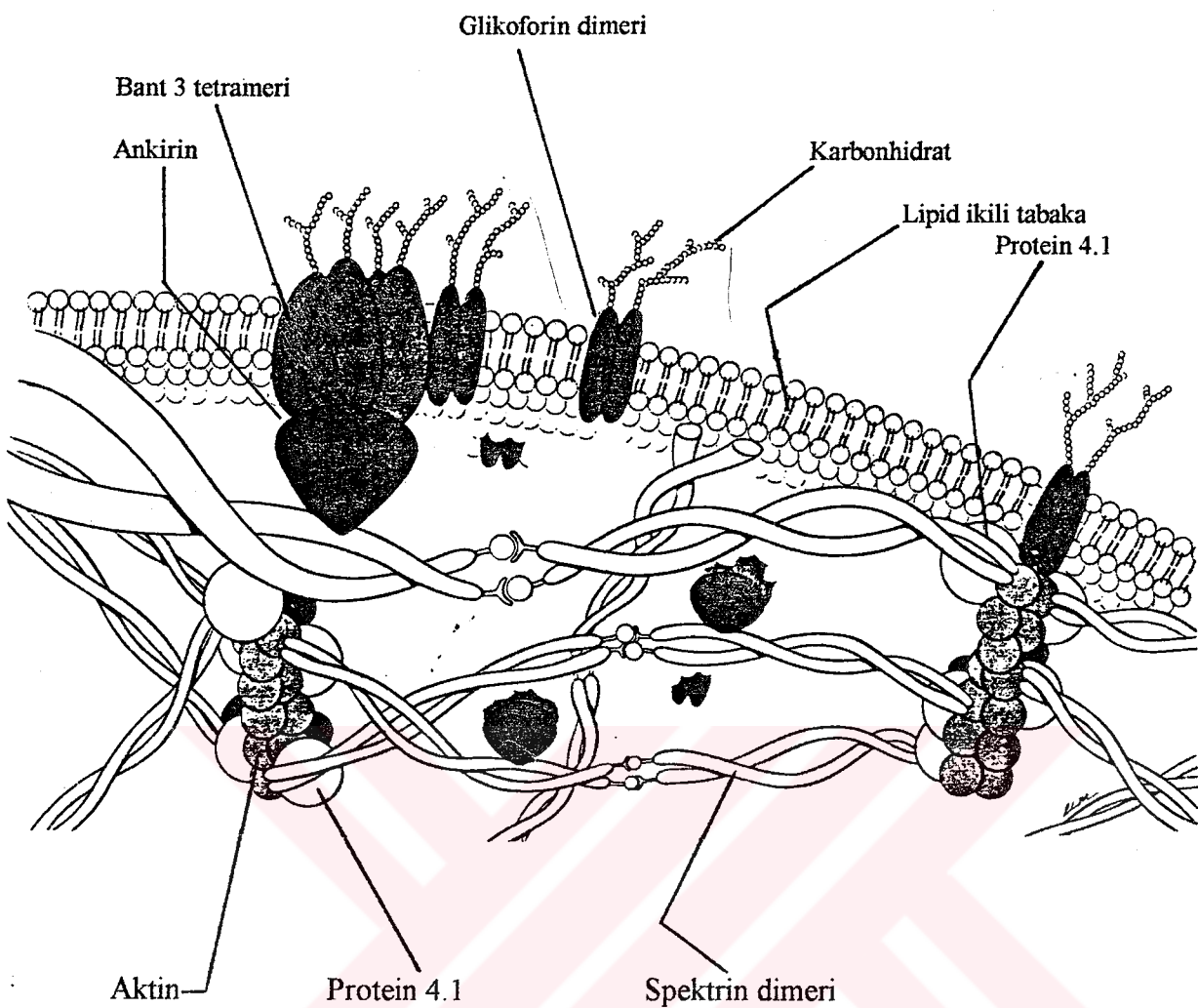
#### Fosforileyen mekanizma

- cAMP-den bağımsız kinazlar
- cAMP'ye bağımlı kinazlar
- Tirozin kinaz
- Protein kinaz C

#### Fosforillenen protein

- Spektrin, protein 3
- Ankirin, protein 4.1 ve 4.9
- Protein 3
- Protein 4.1 ve 4.9

Protein 4.1'in fosforilasyonu spektrin bağlanması azaltır. Protein 3'ün amino ucundaki tirozinin fosforillemesi ise glikolitik enzimlerin ve hemoglobinin parçalanmasını bloke eder. Kalmodulin spektrinin  $\beta$  zincirini  $\text{Ca}^{+2}$  bağımlı tarzda bağlar ve protein 4.1 ile uyarılmış spektrinin aktine bağlanmasıını inhibe eder (2,22).



*Sekil 2.3. Eritrosit membran proteinlerinin membrandaki yerleşimleri(21).*

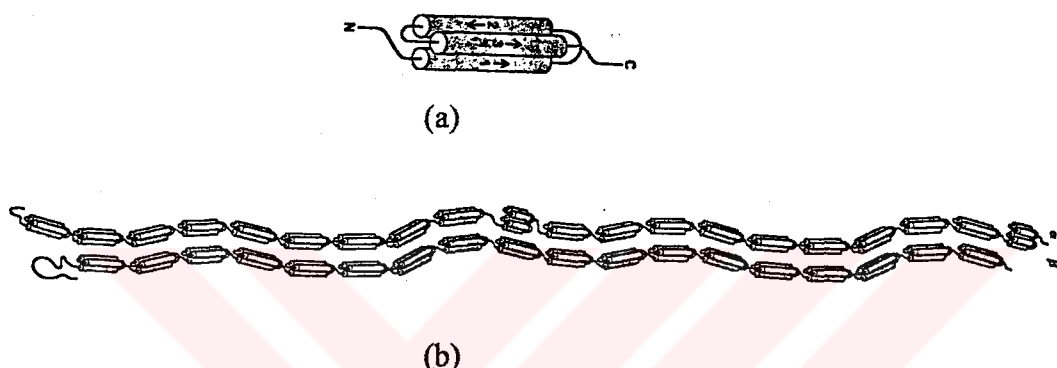
### **2.3. Eritrosit Membranı Proteinleri**

#### **2.3.1. Spektrin (Bant 1, Bant 2)**

Spektrin, eritrosit membranı iç yapısında bulunan ve yapısal olarak önemli fonksiyonu olan bir periferal proteindir. İskelet ağırlığının %50-75'inden sorumlu olup, membran iskeletindeki ağımsı yapıyı meydana getirerek, eritrosit membranının şeklini ve dayanıklılığını sağlar. Sitoplazmik yüzeyde bulunarak plazma membranını membran isteletine bağlar (2,23,24).

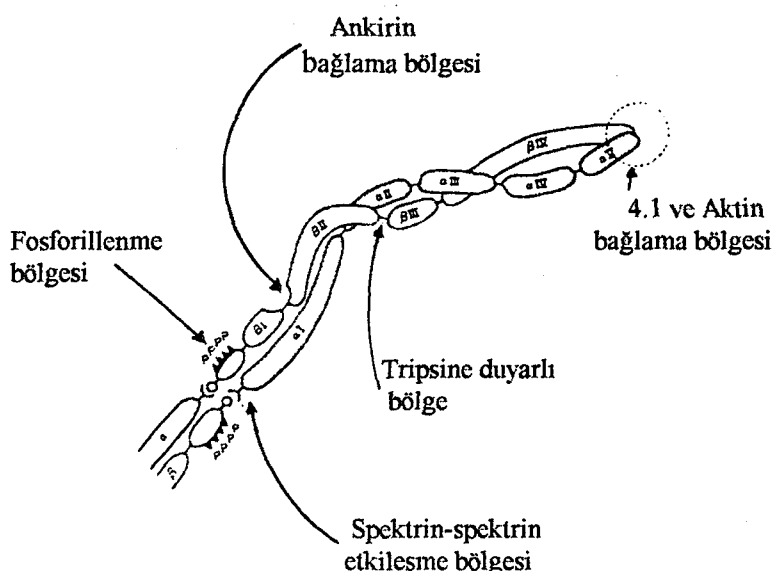
Spektrin, eritroid gelişiminin erken safhalarında sentezlenmektedir. Pronormoblastlarda bolca bulunmaktadır. Eritrosit stem hücrelerinde de bulunabilmektedir. Hem omurgalı ve hemde omurgasızların kırmızı hücrelerinde mevcuttur. İlkel organizmalarda immunokimyasal ve yapısal olarak benzeri proteinler bulunmaktadır (2).

Spektrin, yapıcı birbirine banzeyen fakat fonksiyonları farklı olan iki büyük polipeptid zincirinden meydana gelmiştir. 240 kda'luk  $\alpha$ -zinciri SDS-elektroforezinde band 1 bölgesinde gözükmektedir (6).  $\alpha$ -zincirinde 2200 ve  $\beta$ -zincirinde ise 2000 amino asit rezidüsü vardır. Bu zincirlerin amino (-NH<sub>2</sub>) ve karboksil (-COOH) ucları birbirlerine göre antiparaleldir. Her iki spektrin zincirinde 38 homolog parça halinde 106 aminoasit vardır (18). Bir homolog parça ise üçlü sarmal yapıdan meydana gelir.  $\alpha$ -zincirinden farklı olarak 10. ve 20. sarmal parçasında farklılık vardır (Şekil 2.4) (2,9,20).



**Şekil 2.4.** Spektrinin  $\alpha$  ve  $\beta$  zincirleri (b) ve üçlü sarmalı (a) (9).

Elektron mikroskopu ile yapılan çalışmalar, spektrinin ince bir yapıda olduğunu ve solucan şeklinde kıvrımlardan meydana geldiğini göstermiştir.  $\alpha$  ve  $\beta$  zincirleri birbirlerinin etrafını sararak bir ip halini almıştır. Bir dimerin uzunluğu yaklaşık 100 nm kadardır.  $\alpha\beta$  altbirimlerinin ikisi ucuca bağlanarak 200 nm uzunlığında bir tetramer meydana getirir (2,6,9,22). Spektrin sadece dimerler halinde değil, tetramer, hekzamer, oktamer, dekamer ve dodekamerler halindedede bulunabilir. Tetramer ve oligomerlerin oranı sıcaklık ve iyonik güçe bağlı olarak değişmektedir. Spektrin düşük iyonik güçte ve fizyolojik şartlarda (37°C) de dimerler halinde iken, fizyolojik iyonik güçte ve düşük sıklıkta (25°C) de tetramer ve oligomerler halinde bulunmaktadır. 0°C'de spektrinin %60'ı tetramer ve %5'ide oligomer halindedir. 4°C'de aktivasyon enerjisi yüksek olacağından denge kinetik olarak donar. Bu sıcaklıkta, spektrini membrandan ekstrakte etmek mümkündür. Spektrin, normalde 49°C'de denature olur. Düşük iyonik güçte izole edildiğinde veya spektrin-aktin bağlanması, 2,3 DPG ile zayıflatıldığında veziküllenme meydana gelir (2,18).



**Şekil 2.5.** Spektrin dimerinin bölgeleri (2).

Spektrin dimerinde proteaza duyarlı dokuz bölge vardır (Şekil 2.5). Bunların beşi  $\alpha$  zincirinde ve dördü  $\beta$  zincirindedir.  $\alpha$  ve  $\beta$  zincirinde, tripsine duyarlı bir seri bölge vardır. Bu bölgeler molekülün baş kısmından başlayarak numaralandırılmıştır.

Spektrinin bağlanma bölgelerini şu şekilde sıralayabiliriz (2):

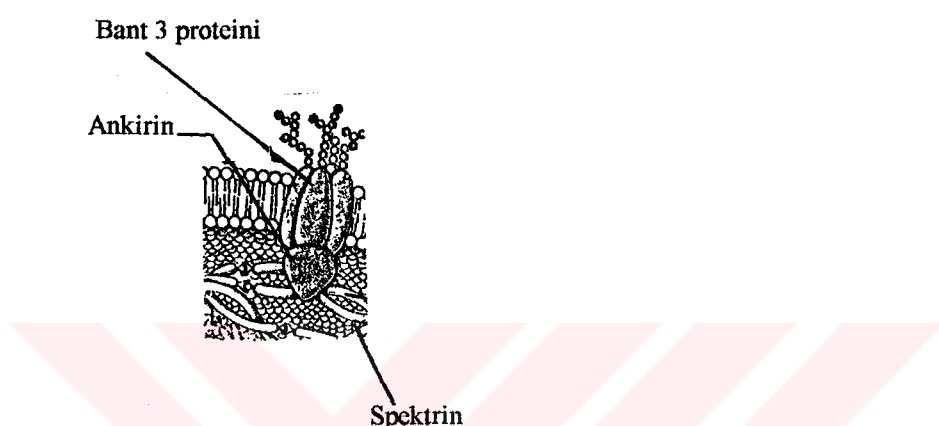
- 1 - Kendi kendine birleşme bölgesi
- 2 - Ankirin bağlama bölgesi (Bant 2.1...)
- 3 - Aktin bağlama bölgesi (Bant 5)
- 4 - Protein 4.1 bağlama bölgesi

Ankirin bağlayan bölge  $\beta$ I ve  $\beta$ II arasında, zincirin başından 20 nm mesafede bulunurken, aktin ve protein 4.1 bağlama bölgesi  $\beta$ IV ve  $\alpha$ V arasında yani kuyruk kısmında bulunmaktadır. Spektrinde ankirin için iki bağlama bölgesi bulunmasına rağmen, genelde tetramer başına bir bağlanma gerçekleşir. Spektrinin cAMP bağımlı fosforilasyonu dimerin karboksi-terminal ucuna yakın kısmında meydana gelir.  $\alpha$ -zincirinin baş kısmındaki 80 kda'luk bölge,  $\beta$  zincirinin 10 kda'luk bögesiyle birleştiğinde dimerler meydana gelir (18).  $\alpha$ I bölgesinde bu kısımlardan biridir. Birçok spektrin molekülü kendi uzunluğunun üçte biri kadar kıvrılmaktadır (2,9).

İskelet kompleksinin lipid ikili tabakaya bağdaşması, spektrin ile glikoforin A veya C arasındaki bağla gerçekleşir. Spektrin molekülleri, protein 4.1, protein 4.9, adüsün ve tropomiyozin gibi kompleks aktin filamentleriyle etkileşerek iki boyutlu bir ağ halinde bağlanmıştır. Bu birleşmeler bifonksiyonel spektrin tetramerlerinin kuyruk kısmında meydana gelmektedir. Bu proteinler iskeletin inşa edilmesinde birleştirici rol oynamaktadır (2,25).

### 2.3.2. Ankirin (Bant 2.1)

Ankirin, spektrinin  $\beta$  zinciriyle, anyon kanalının sitoplazmik kısmında N-terminal ucu arasında yer alan piramit şeklinde bir proteindir.  $8.3 \times 10$  nm'lik boyutlara sahiptir (Şekil 2.6). Spektrinin ucundan 20 nm mesafede bağlanması için oldukça yüksek afinite vardır ( $K_d \sim 10^{-7}$  M) (Şekil 2.6) (2,22).



**Şekil 2.6.** Spektrin-ankirin-anyon kanalı kompleksi (21).

Sindein olarak adlandırılan ankirin, spektrini membranın iç yüzeyine bağlayan iki proteinden biridir (13,22). 200 kda ağırlığında olup, SDS jelinde Bant 2.1 bölgesinde yer almaktadır (6). Proteolize karşı oldukça duyarlı olduğundan elektroforezde 2.2, 2.3 ve 2.6 bantları şeklinde fragmentleride görülebilir. Bütün normal kırmızı hücrelerde aynı formları gözükmeğtedir. Fakat bunların normal ankirinin proteolitik ürünü mü, yoksa ayrı bir gen ürünleri mi olduğu kesinlik kazanmış değildir (2,5).

Her bir spektrin tetramerı, muhtemelen bir ankirin molekülünü bağlar. Oysa spektrinin iki ankirin bağlama bölgesi vardır. Ankirin ise spektrin dimerine bağlandığından ( $10^{-6}$  M) 10 kat daha fazla güçle spektrin tetramerine ( $10^{-7}$  M) bağlanır. Ankirin, bant 3'ün transmembran bölgesinin bir modulatorudur. Protein 3'ün sitoplazmik kısmına yüksek afinite ile bağlanır. Protein 2.2, tüm ankirinle olduğundan daha fazla afinite ile protein 3'e bağlanır. Bu bağlanma ankirinin spektrine bağlanmasıından 3 kat daha yüksek afinite ile gerçekleşir (2).

Ankirin molekülü, proteolizle birbirinden ayrılabilen iki farklı bağlanma bölgesi bulundurmaktadır. Spektrin bağlama bölgesi, 72 kda'luk fragmenttedir. Bu fragmentin fosforilasyonu, spektrin tetramerile ankirinin etkileşmesini engeller. 90 kda'luk fragment protein 3'ün sitoplazmik bölgesine bağlanır. Ankirin, aynı zamanda, protein 4.2'yi bağlayan bir bölgeyede sahiptir. Bir veya daha fazla sayıda yağ asidinede bağlanabilir (2,26).

### 2.3.3. Adüsün

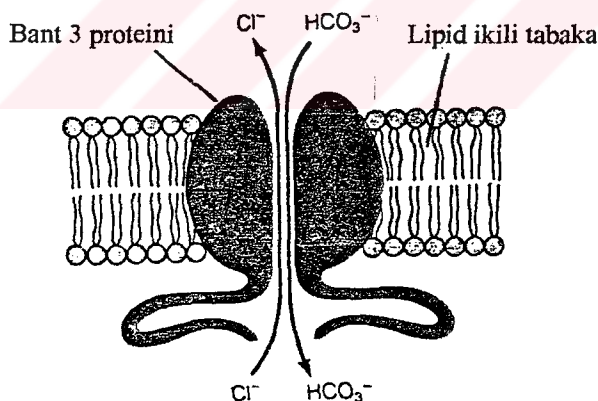
Bu protein  $\alpha$  (103 kda) ve  $\beta$  (97 kda) altbirimlerinden oluşan bir heterodimerdir. Hücre başına 30000 kopya ve aktin protofilamenti başına bir kopyası vardır. Protein aktine, protein 4.1 gibi bağlanmaktadır. Fonksiyonu, spektrinin aktine bağlanmasıı artırmaktır. Fakat aktin eksikliğinde, protein 4.1 olmaksızın, spektrin ile direk reaksiyona giremez.

Adüsün-spektrin-aktin kompleksi, ikinci spektrini bağlanmasına katkıda bulunur. Bu etki kalmodulinle bloke olur. Adüsün proteini, protein kinaz C tarafından fosforillenmektedir. Fakat bu fosforillenmenin etkisi bilinmemektedir (2).

### 2.3.4. Anyon Kanalı (Bant 3)

Kırmızı hücre membranı,  $\text{CO}_2$ 'nın kanla taşınmasında ve hücre pH'sının toplanmasında anahtar rol oynayan bir anyon kanalı ihtiyaç etmektedir. Doku kapillerinde hücreye giren  $\text{CO}_2$ , karbonik anhidraz etkisinde  $\text{H}_2\text{CO}_3$ 'e dönüşür. Buda  $\text{H}^+$  ve  $\text{HCO}_3^-$ 'e ayrılır. Açıga çıkan proton, Bohr etkisinin bir sonucu olarak deoksihemoglobin tarafından alınır. Bikarbonat, anyon kanalı sayesinde  $\text{Cl}^-$  iyonlarıyla yer değiştirerek kırmızı hücreden ayrıılır (Şekil 2.7). Pulmoner dolaşımında bu işlem tersinedir (1,6).

Eritrosit dışı



Eritrosit içi

**Şekil 2.7.** Doku kapillerinde eritrosit membranı iyon transport proteini (1).

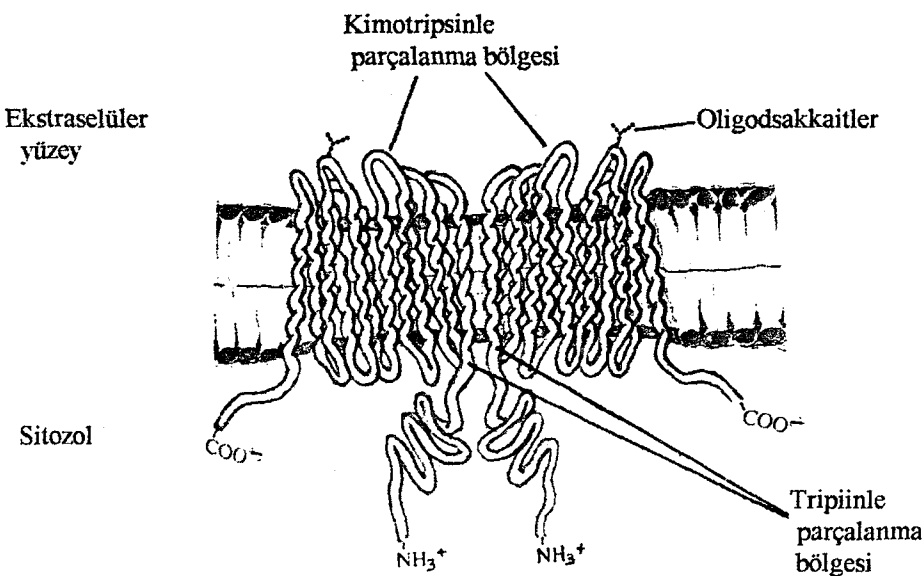
Elektroforezde bant-3 bölgesinde yer alan anyon kanalı, anyon değiştirici protein olarak bilinmektedir (27). Diğer bir adıda Protein E olan bant 3 proteininde anyonların transportu kolaylaştırılmış difüzyonla olmaktadır (28). Her bir kırmızı hücrede bu integral

proteinin 106 kopyası bulunmaktadır. Toplam membran proteinin yaklaşık üçte birini teşkil eden 100 kda'luk bir integral membran glikoproteini olan protein 3'ün %7'si karbohidrat ve toplam membran proteinin %10'u şekerdir (19). Protein, yapısal olarak iki ve fonksiyonel olarakda bir bölgeye sahip olup herbir bölgesinde 929 rezidülü tek bir zincir taşımaktadır. Bu bölgeler proteolitik parçalanmayla birbirinden ayrılır.

Bu zincirde tripsinle parçalanma, sitoplazmik amino uçlu bölgede meydana gelirken, kimotripsinle parçalanma ekstraselüler bölgede meydana gelir.

52 kda'luk karboksil uçlu bölge, fizyolojik olarak önemli bir anyon değiştirici kanaldır. Hidropati çizimleri, bu bölgenin membranı geçen 12  $\alpha$ -sarmal yapıdan oluştuğunu göstermiştir. 590 rezidülü karboksil ucu,  $HCO_3^-$  ve  $Cl^-$  iyonlarının yer değişimine aracılık eder. Lipid ikili tabakayı boydan boyaya geçer. Membranın dış yüzeyindeki karbohidrat zinciri, konkanavalin A'yi bağlar. Glikozilenme heterojeniktir ve asparajin rezidüsü üzerinde olmaktadır. SDS elektroforezinde proteinin elektroforetik hareketliliğinden sorumlu bölgelerdir. Ankirin transmembran bölgesinin konformasyonunda muhtemel bir modulatördür.

43 kda'luk sitoplazmik yani amino uçlu bölge, 420 rezidüden ibarettir. Bu amino ucu bölgesini uzaklaştmak anyon değişimi aktivitesini etkilemez. Hemoglobin, protein 4.1, protein 4.2, ankirin ve glikolitik enzimler (G3PDH, fosfofruktokinaz, fosfoglisferat kinaz ve aldolaz) gibi kırmızı hücre proteinleri sitoplazmik bölgede yer almaktadır. Hemoglobin ve glikolitik enzimler amino terminali ucuna yerleşmiş, oldukça asidik kısma bağlanır. Ankirin, protein 4.1 ve 4.2 bağlama bölgeleri tam belli değildir. Genelde herbir protein 3 tetramerine bir ankirin molekülü bağlanır ( $K_d \sim 10^{-8} M$ ). Protein 3'ün diğer proteinlerle hangi oranda etkileştiği ya da bu bağlanma reaksiyonlarının ne sebeple olduğu hakkında nispeten çok az



*Sekil 2.8. Bant 3 proteininin yapısı(6).*

bilgi vardır. Çeşitli glikolitik enzimlerin kinetikleri, bağlanmayla değişmektedir. Fakat bunun fizyolojik olarak önemli bir durum olduğu açıklık kazanmış degildir. Sitoplazmik bölgenin fosforillenmesi anyon transportunu arttırmış, 4.2 ile etkileşmesi, anyon transportunu azaltır (2,7).

Anyon kanalı, kan grubu antijenlerini de taşımaktadır. Kan grubu I olan eritrositlerin bant 3 glikoproteininde, kan grubu I olanlardan daha az oligosakkarit bulunmaktadır (28).

Elektromikroskopik çalışmalar, bant 3 proteininin tetramerik yapıda olduğunu göstermiştir. Ultrasantrifüje ile yapılan çalışmalarla, deterjanla çözünmüş bant 3'ün dimerik ve tetramerik yapısının karışımı halinde bulunduğu gözlenmiştir. Asetik asitle çözülmüş ve sonradan sulu çözeltiye aktarılmış bant 3'de monomer/dimer/tetramer yapısının dengede olduğu görülmüştür (30).

### **2.3.5. Bant 4 Serisi Proteinler**

Bant 4 serisi proteinler, bant 4.1, 4.2, 4.5 ve 4.9 dur. Bunlar sırasıyla açıklanacaktır.

#### **2.3.5.1. Bant 4.1**

MA 78-80 kda olan 5.7 nm'lik dairesel yapıdaki globuler proteindir. İskelet stabilliği için gerekli olan bu protein, spektrin'in her iki zincirindeki C-terminalinin aktin filamentine bağlanması sağlar. Bu protein, spektrinle 1-1 stokimetri oranında bağlanıp, bağlanma K<sub>d</sub>'si yaklaşık  $10^{-7}$  M civarındadır. Ayrıca aktinle de aynı oranda bağlanır. Sonuçta birleşme sabiti  $10^{-12}$  M olan bir kompleks meydana gelir.

Protein 4.1, bir veya birkaç transmembran proteininde bağlayabilir. Glikoforinin sitozole bakan yüzeyini spektrin-aktin kompleksine bağlar (25). Glikoforin A ve glikoforin C'nin sitoplazmik kısımlarıyla etkileşim halindedir. Glikoforin A ile etkileşimi, polifosfoinositlerle düzenlenmektedir. Fosfatidil inositol 4,5 bisfosfat bu integral proteine takıldığından, protein 4.1 glikoforine bağlanır. *In vivo* olarak glikoforin C'nin bağlanması daha baskın olabilir. Protein 4.1, protein 3 ile ve fosfatidilserinle etkileşebilir. Bu nedenlerle, protein 4.1'in lipid ikili tabakada spektrinle birlikte iskeleti tutmakta görev aldığı söylenebilir (2).

Protein 4.1, her ikiside fosforillenebilen ve saf olarak elde edilebilen 4.1a ve 4.1b şeklinde görülür. 4.1b bileşenine daha çok genç eritrositlerde rastlanır. Molekül, hem asidik ve hemde bazik uclarıyla polarize olmuştur. 10 kda'luk merkezi bölgesi, spektrin-aktin bağlanmasından sorumlu bölgedir (2,8).

### **2.3.5.2. *Bant 4.2***

Monomer halinde 72 kda'luk periferal protein olan protein 4.2 toplam membran proteininin %5'i kadardır. Protein 3'ün sitoplazmik bölgesiyle etkileşerek protein 3'ün anyon transportunun düzenlenmesinde rol oynar. Protein 4.2'nin bant 3 ile fazla miktarda etkileşmeye girmesi bant 3'ün anyon transportunu azaltır (7). Ayrıca protein 4.2, ankirin ile etkileşerek, ankirinin membranda sabit kalmasını sağlar. Protein 4.2 eksikliğinde, eritrositlerin şekli bozulur ve membran stabilliği azalır. Hemolitik anemili hastanın protein 4.2'si 72 kda ve 74 kda'luk protein çifti halinde gözükür (25).

### **2.3.5.3. *Bant 4.5***

MA 55 kda'luk bir integral membran proteini olup, hücre başına  $1.5 \times 10^6$  kopya taşır. Yapısı hakkında herhangi bir bilgi yoktur. Fakat glukoz taşınmasında rolü olabileceği tahmin edilmektedir (1). Bazı çalışmalarında, densitometrik okumalar sonucu bant 4.5 bölgesinde iki bant gözlenmiştir (19,31,32). İki boyutlu elektroforezle yapılan bir çalışmada, bant 4.5 bölgesinde 14 bant gözlenmiş fakat bunların protein bileşiminin aynı olmadığı, bazı polipeptidlerin değişik formları olduğu belirtilmektedir (33).

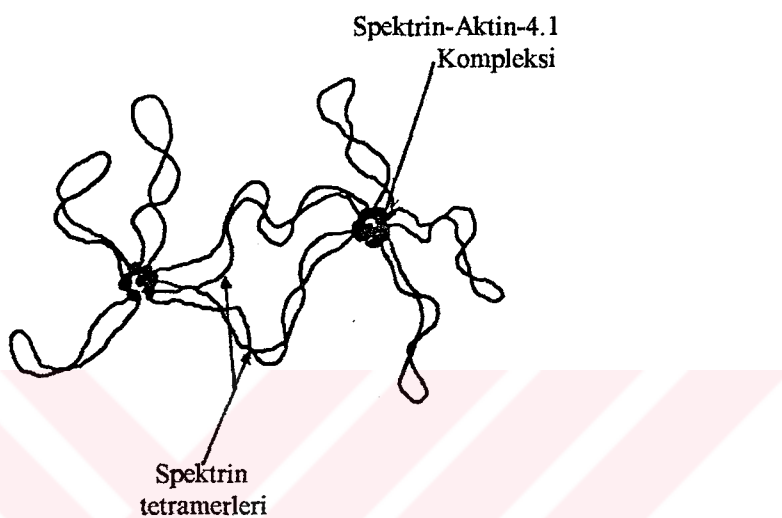
### **2.3.5.4. *Bant 4.9***

Yarıçapı 50 A° olan 48 kda'luk bir periferal proteindir. Çözeltide 145 kda'luk trimer halinde bulunur. Spektrin, aktin ve protein 4.1 ile birlikte eritrosit membran iskeletinin stabilliğinde önemli rol oynamaktadır. Herbir spektrin tetramerinin için bir tane ve her 5 aktin monomeri için yine bir tane bant 4.9 polipeptidi vardır. Diğer iskelet proteinlerinin aksine 4.9, cAMP bağımlı ve membranda bulunan bir kinazla fosforile olmaktadır. *In vivo* olarak bu proteinin nasıl fonksiyon gördüğü bilinmemektedir. Fakat *in vitro* olarak, aktine bağlanarak aktin filamentlerini kablo halinde paketlediği bilinmektedir. cAMP bağımlı kısım fosforillendiğinde bu etki ortadan kalkar (2,3,34).

### **2.3.6. *Aktin (Bant 5)***

Eritrosit membranında yer alan 43 kda'luk aktin, diğer kas harici hücre çeşitlerinde bulunan  $\beta$  altbirimi tipindedir. Diğer hücrelerdeki aktinden farklı olarak, 12-16 monomer uzunluğunda çift sarmallı F-aktin filamentlerinden (protofilamentlerden) organize edilmiştir. Bu kısa filamentler, spektrin ve protein 4.1 ile etkileşerek stabilize edilirler. Herbir eritrositte  $5 \times 10^5$  tane aktin molekülü vardır. Aktin, ayrıca düz veya dolaşmış şekilde, iki boyutlu spektrin ağının teşekkürküline de imkan sağlar.

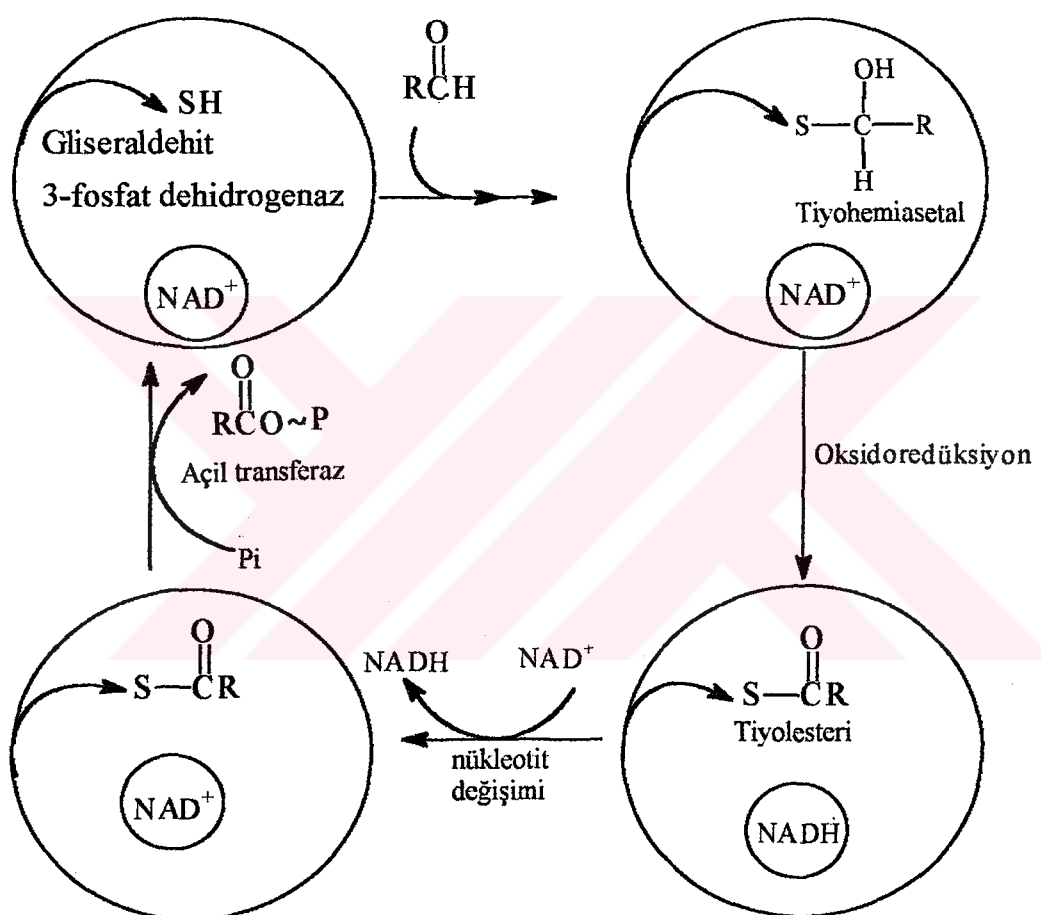
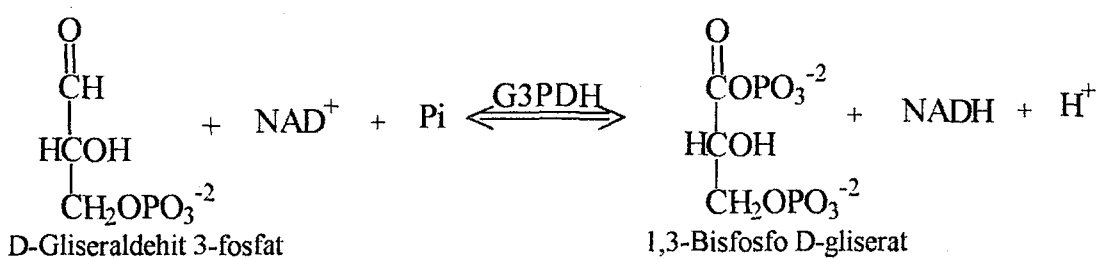
Aktin polimerizasyonu, kırmızı hücrelerde oldukça önemlidir. Çünkü aktin polimerizasyonunu engelleyen bileşikler membranın esnekliğini arttırırken, polimerizasyonu artıranlar ise membranın sertliğini artırır. Spektrin aktinle bağlanması, membran iskeletinin oluşumunda esaslı bir mekanizmadır. Aktin filamentleri, spektrin molekülünün kuyruğuna yakın kısımda spektrinle etkileşir. Spektrin hem  $\alpha$  ve hem de  $\beta$  zincirleri bu etkileşmeyi sağlar. Spektrin tetramerleri, bu nedenle iki değerlidir ve aktin filamentleriyle çapraz bağ yapabilir. Bu bağlanmanın  $K_d$ 'si  $10^{-3}$  M'dır (2,3,18).



**Sekil 2.9.** Spektrin-aktin-4.1 kompleksinin meydana gelişisi(18).

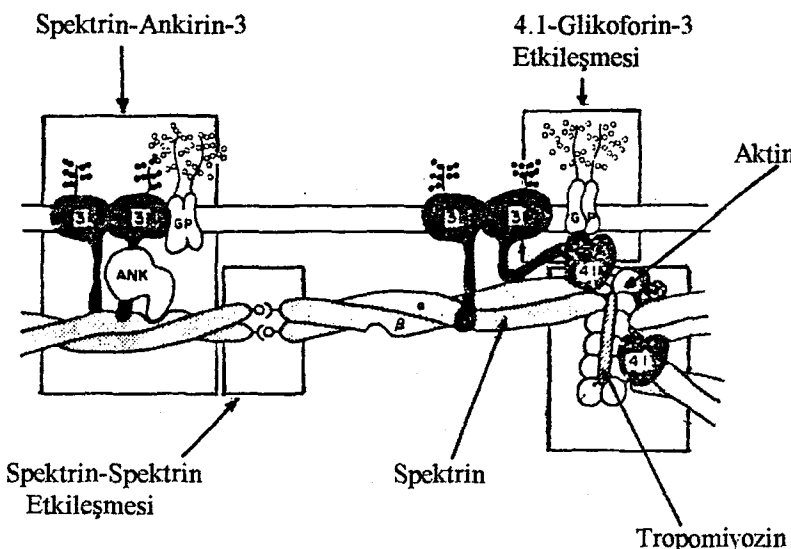
### 2.3.7 Gliseraldehit 3 Fosfat Dehidrogenaz (Bant 6)

MA 35 kda olan gliseraldehit 3 fosfat dehidrogenaz (E.C. 1.2.1.9) proteini, anyon kanalının amino ucuna kooperatif olarak bağlı oksidasyondan sorumlu glikolitik enzimdir (19). Yapısal olarak tetramer teşkil eden birbirinin tipatıp aynı dört polipeptid (monomer)den oluşur. Her bir polipeptid üzerinde, muhtemelen polipeptid zinciri içindeki sistein rezidülerinden türemiş olan dört SH grubu vardır. Gliseraldehit 3-fosfatın okside olduğu reaksiyonlara katıldığı bilinen SH gruplarından sadece birisi bu enzimin aktif yerinde bulunur. Söz konusu substrat, başlangıçtaki dehidrogenaz üzerindeki bir sisteinil kısmı ile birleşerek tiyohemiasetal teşkil eder. Bu oksidasyonla ortadan kaldırılan hidrojenler, NADH teşkil etmek üzere,  $NAD^+$ 'e transfer olurlar. En son olarak fosforilaz yoluyla inorganik fosfat eklenir. 1,3 bisfosfoglisерat teşekkül eder ve yinede SH gruplu serbest enzim açığa çıkar. Bu oksidasyon sırasında salıverilen enerji, bir yüksek enerjili kükürt bağı oluşturularak alıkonulur. Bu bağ, fosforiliz'den sonra 1,3 bisfosfo-glisерatın 1 nolu pozisyonunda bir yüksek enerjili fosfat bağı haline gelir (35,36).



### 2.3.8 Tropomiyozin (Bant 7)

Tropomiyozin, 27 ve 29 kda'luk altbirimler halinde bir heterodimerdir. SDS-PAGE'de bant 7 bölgesinde görülür. Kırmızı hücredeki tropomiyozin, diğer kas harici tropomiyozinlere benzemektedir. Herbir 6-8 aktin monomeri için bir kopyası vardır ki bu da kırmızı aktin protofilamentlerinin hepsini örtmek için yeterlidir. Tropomiyozinin uzunluğu protofilamentlerin uzunluğu kadardır (2).



**Şekil 2.10.** Tropomiyozinin membran iskeletindeki yerleşimi (2).

### 2.3.9. Glikoforin

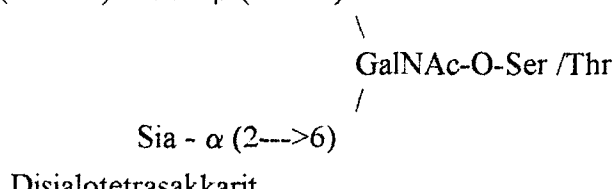
Eritrosit membranının en önemli integral membran glikoproteini, MA'lığı 31 kda olan glikoforin A'dır. Her bir membranda 400000 glikoforin molekülü vardır. Membran ağırlığının %1.5 ini teşkil eden glikoforinin %60'u karbohidrattır.

Vincent Marchei, glikoforin A'nın amino asit dizilişini belirlemiş ve plazma membranını boydan boyaya geçtiğini ve tüm moleküllerin aynı doğrultuda olduğunu göstermiştir. Proteolitik hidrolizler ve kimyasal modifikasyonlar kullanılarak glikoforin A'nın üç bölgeden ibarettiği tespit edilmiştir (Şekil 2.11) (9,13).

1.  $\text{-NH}_2$  terminal bölgesi: Tüm karbohidrat birimlerini bulunduran bu bölge, membranın dış kısmında bulunmaktadır. Onaltı oligosokkarit birimi, 100 şeker rezidüsünden meydana gelmiştir. Bu birimlerin onbeşi, serin ve treoninin  $\text{-OH}$  grubuyla O-glikozidik bağı yapmış iken, bir birim, 26. aminoasit olan asparajinin  $\text{-NH}_2$  grubuyla N-glikozidik bağı yapmıştır (1). Tüm oligosakkat birimleri ilk 50 amino aside kadar olan kısmında bulunmaktadır. Bu karbohidrat birimleri sekere negatiflik kazandıran sialik asit bakımından zengindir. Bu sayede, membran proteini hidrofiliktir. Glikoforinin ağırlığının %80'i bu bölgededir.

Bütün O-glikozidik bağıyla bağlı oligosakkartler, disialotetrasakkart yapısındadır(13).

Sia -  $\alpha$  (2--->6) - Gal -  $\beta$  (1--->3)



Burada sia : Sialik asit, Gal : Galaktoz, Gal NAc : N-asettilgalaktoz ve Ser/Thr: Serin/Threonin'dir.

N-bağılı oligosaklaripler ise mannoz içermektedir.

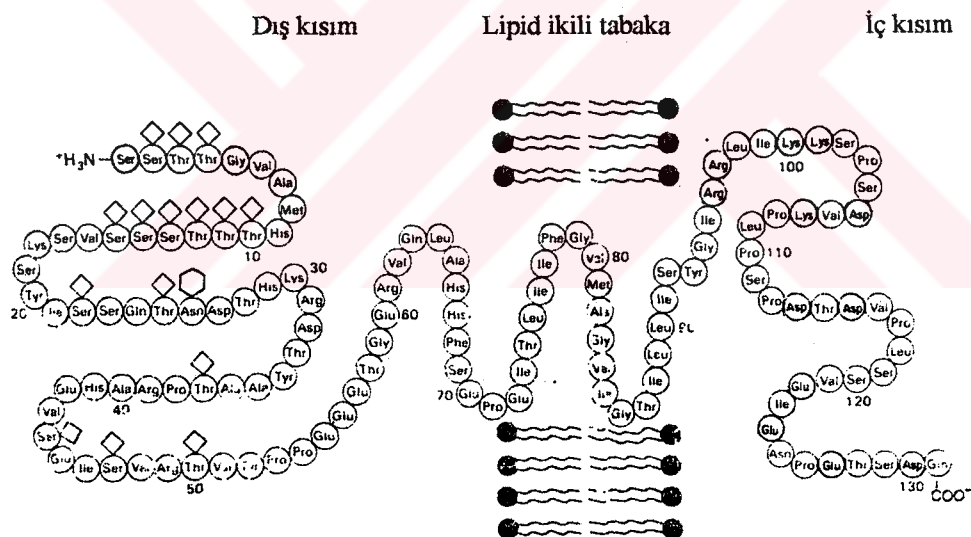
## 2. Hidrofobik orta bölge :

Nonpolar 19 amino asit ihtiva etmektedir.  $\alpha$ -sarmal şeklinde kıvrımlarla lipid ikili tabakayı boydan boyaya geçmektedir. Sentetik polipeptidlerle yapılan çalışmalar,  $\alpha$ -sarmalın nonpolar ortamda, sulu ortamda olduğundan daha kararlı olduğunu göstermiştir. Bu  $\alpha$ -sarmalın çapı 30 A°dur.

## 3. -COOH terminal bölge :

Membranın sitozolik yüzeyindedir. Pozitif yüklü rezidüler, fosfolipid moleküllerinin negatif yüklü baş kısımlarıyla etkileşebilirler. Bu bölge, spektrin-aktin kompleksine protein 4.1 aracılığıyla bağlanmıştır.

Glikoforinin bu üç bölgesinde toplam 131 amino asit kalıntısı vardır.



**Sekil 2.11.** Glikoforinin membranda yerleşimi ve amino asit dizilişi (9,13).

Glikoforinler, Coomassie Blue ile boyanamazlar, ancak PAS boyasıyla boyanabilirler. M ve N olmak üzere iki kan grubu antijeni taşırlar. M antijeni glikoforin A'da bulunurken, N antijeni glikoforin B'de bulunur. Glikoforin A ve B nin antijenin farklılıklarının yanısıra, ayrıca birinci ve beşinci aminoasitler arasında da farklılık vardır.

1	5	
$\text{H}_2\text{N-Ser-Ser-Thr-Thr-Gly-}$		Glikoforin A
$\text{H}_2\text{N-Leu-Ser-Thr-Thr-Glu-}$		Glikoforin B
1	5	

Glikoforinlerin moleküler ağırlıkları arasında da farklılık vardır. Glikoforin A 31 kda, Glikoforin B 23 kda ve Glikoforin C ise 29 kda'dur. Glikoforin C, glikokonneksin olarak bilinmektedir (13).

## 2.4. Proteinleri Ayırma Yöntemleri

Bir biyolojik sıvıda bulunan proteinleri, ortamdaki diğer bileşenlerden ve diğer proteinlerden ayırma işlemi, proteinlerin bazı özelliklerine dayanmaktadır. Bu özelliklerine bağımlı ayırım, dört grupta toplanabilir (12).

### 2.4.1. Molekül Büyüklükleri Esasına Dayanılarak Proteinlerin Ayrılması

Bu grupta yer alan ayırma yöntemleri, diyaliz, ultrasantrifüjeleme, yoğunluk gradienti santrifüjlemesi ve jel filtrasyon kromatografisidir.

Proteinleri daha küçük molekül ağırlığına sahip moleküllerden ayırmak için selofan, selüloz gibi yarı geçirgen zarlar kullanılarak diyaliz işlemi yapılmaktadır. Prensip olarak diyalize benzeyen ultrasantrifüjlemede, basınç ve santrifüjleme kuvveti vasıtasiyla sulu çözelti ve küçük çözünen moleküller yarı geçirgen zardan geçerken büyük moleküllü olan proteinler zarı geçemeyerek tüp içinde kalırlar (14,37,38).

Bir protein karışımını, farklı yoğunlukta sukroz çözeltileri yardımıyla, yoğunluk gradienti santrifüjlemesi ile de ayırmak mümkündür. Protein çözeltisi sukroz çözeltilerine ilave edilip yüksek devirde santrifüj edilecek olursa her bir protein kendi yoğunluğu ile aynı olan sukroz bölgesinde toplanacaktır. Sonuçta protein molekülleri, büyükleri, şekilleri ve konsantrasyonlarına göre ayrılmış olacaktır (12,14).

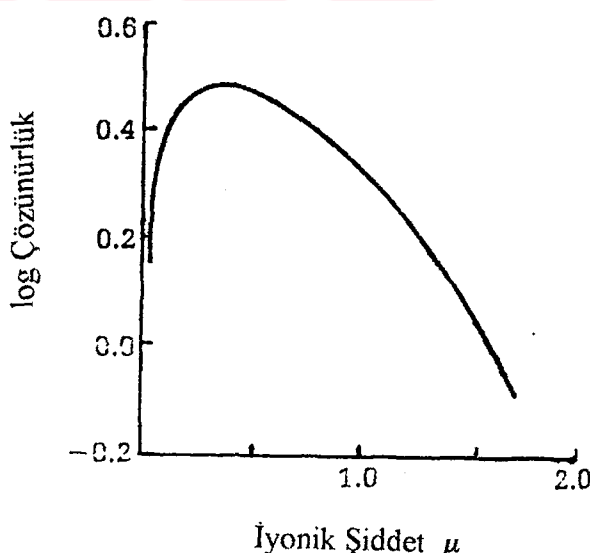
Molekül büyüklüklerine göre proteinleri ayırmada kullanılan en etkili metod olan jel filtrasyon kromatografisinde kolon, sefaeks, sefaroz, bio-jel ve agaroz gibi materyallerle dodurulup tamponla kararlı hale getirildikten sonra protein çözeltisi yavaşça ilave edilir. Küçük protein molekülleri, kolon dolgu maddesinin küçük oyuklarına girerken, büyük moleküller eluatta toplanmaktadır. Eluatta ilk toplanan protein molekülü en büyük molekül olurken, en son toplanan en küçük molekül olacaktır (39,40).

#### 2.4.2. Çözünürlük Farklılıklarına Dayanılarak Proteinlerin Ayrılması

Çözünürlük, başlıca pH, iyonik şiddet, çözürünün dielektrik özelliği ve sıcaklığa bağlıdır. Proteinlerin iyonlaşabilir yan grupları farklı olduğundan, izoelektrik pH'larda farklıdır. Ortamın pH'sını değiştirerek, izoelektrik noktasına rastlayan proteinlerin çökmesi sağlanır. Bu şekilde, izoelektrik çökeltme işlemi ile proteinler yüklerine göre ayrılmış olur (12).

Etanol sudan daha küçük bir dielektrik sabitine sahip olduğundan, sulu protein çözeltisine ilave edildiğinde zit yüklerin çekimi artar ve proteinler kümelenerek çöker. Etonal ve asetonun değişik oranlarında ilavesi proteinlerin ayrı ayrı çökmesine neden olur. Denaturasyondan sakınmak için düşük ısıda çalışılmalıdır (14).

Tuz ilavesi ile çöktürme işleminde ortama ilave edilen tuzun konsantrasyonunu ayarlayarak, proteinlerin çökmesi ve böylece ayrılması sağlanır. Düşük yoğunluktaki tuz çözeltileri pek çok proteinin çözünürlüğünü artırmaktadır. Bu olay, *salting-in* olarak adlandırılmaktadır. Salting-in olayında,  $(\text{NH}_4)_2\text{SO}_4$  gibi iki değerlikli iyonların tuzları, KCl gibi bir değerlikli bir değerlikli iyonların tuzlarından daha etkilidir. Nötral tuzların bu özelliği, tuzu meydana getiren katyon ve anyonların elektrik yüküne bağlı olduğu gibi tuzun konsantrasyonuna da bağlıdır. İyonik şiddet arttırıldığında proteinlerin çözünürlüğüde azalmaktadır (Şekil 2.12) ve bu nedenle proteinlerin çökme oranı artmaktadır. Bu olaya *salting out* denir. Çok yüksek  $(\text{NH}_4)_2\text{SO}_4$  konsantrasyonları, protein moleküllerinden suyu almakta ve proteinlerin çözünürlüğünü azaltarak onların çökelmesini sağlamaktadır. Salting-out olayı ile çökelen proteinler doğal konformasyonunu korumaktadırlar (39,40).



Şekil 2.12. Potasyum sülfatın ( $\text{K}_2\text{SO}_4$ ), hemoglobin-CO kompleksinde ve izoelektrik pH'da çözünürlüğüne etkisi (12,14).

Amonyum sülfat suda çok fazla çözündüğünden ve gayet yüksek iyonik kuvvetle elde etmek mümkün olduğundan, proteinlerin çöktürülmesinde en çok kullanılan bileşektir. Amonyum sülfatın doygunluğu 0-30°C arasında değişmektedir. 20°C'de amonyum sülfat doygunluğu, 4.05 M veya 533 g/L olarak kabul edilmektedir(40).

#### **2.4.3. Spesifik Ligandları Esasına Dayanılarak Proteinlerin Ayrılması**

Afinite kromatografisi, saflaştırılması istenen molekülün matriks adı verilen bir kolon maddesine (sefaeks, sefaroz, bio-jel vs.) kovalent olarak immobilize edilmiş bir komplementer bağlanma bileşигine (ligand) spesifik olarak bağlandığı bir tekniktir (12).

#### **2.4.4. Elektriksel Yük Esasına Dayanılarak Proteinlerin Ayrılması**

Bir protein çözeltisi izoelektrik noktasının dışında bulunan pH'larda yüklü durumda bulunur. Proteinleri asit-baz özelliklerine dayalı ayırmada iki metod vardır.

##### **2.4.4.1. İyon Değişim Kromatografisi**

Bu yöntemde kolon, pH 7.0'da pozitif veya negatif yüklü gruplar ihtiva eden maddelerle doldurulur. Proteinler, yüklerine göre iyon tutan bu bileşikler üzerine adsorblanır. Katyon ve anyonların yer değişimi olur. Kolon, iyon değiştiricisinin elektrik yükünü değiştiren çözeltilerle yıkandırsa, farklı zamanlarda kolondan çıkış esasına göre proteinlerin ayırm işlemi tamamlanır (10).

##### **2.4.4.2. Elektroforez**

Elektroforez, bir elektriksel alanda yüklü moleküllerin hareketi esasına dayanmaktadır. Yüklü biyolojik polimerlerin analizleri ve belirlenmesi, farklı iyonların veya bir karışımındaki farklı bileşenlerin belirlenmesi, kolloid ve makromoleküllerin ayrılması gibi bir çok yöntemde de kullanılır. DNA, RNA, polimerler ve kompleks karbohidratlar elektriksel alanada hareket ettirilir.

Bir elektriksel alanda moleküllerin göçünü etkileyen faktörler şunlardır;

1. Molekülün kimyasal bileşimi, net yükü ve işaretti, büyülüğu, sürünen katsayı gibi moleküler parametreler,
  2. Tamponun pH'sı, iyonik gücü ve viskositesi,
  3. Elektriksel alanın şiddeti, göç alanı ve akımın cinsi.
- Elektroforezde molekülün yapısına uygun destek ortamına ihtiyaç vardır. Modern elektroforetik tekniklerde destek ortamı olarak tamponla doymuş jel tipi matriks kullanılır.

Amino astiler ve karbohidratlar gibi düşük moleküller ağırlıklı biyokimyasalar için destek ortamı olarak selüloz kullanılırken, büyük moleküller için poliakrilamid ve agaroz jeller kullanılır (2,39,41).

#### **2.4.4.3. Poliakrilamid Jel Elektroforezi**

Poliakrilamid jeller ile yapılan elektroforez, numune bileşenlerinin çözünürlüğünün artmasını sağlar. Çünkü ayırma,

**1.** Moleküler elekleme ve

**2.** Elektroforetik hareketlilik esasına dayanmaktadır. Jel elektroforezinde küçük moleküller büyük moleküllerden daha hızlı hareket ederler. Akrilamid polimerizasyonu ile yapılan jelin ve elektroforezin avantajları şöyle sıralanabilir (42).

- 1.** Proteinler ve nükleik asitler ( $1 \times 10^6$  daltona kadar) için yüksek ayırma gücü,
- 2.** Gözenekleri sayesinde moleküler elekleme özelliği,
- 3.** Büyük hacimli moleküllerin kabulu,
- 4.** Göç eden moleküllerin matriks ile minimum etkileşmesi yani kimyasal inertliği,
- 5.** Matriksin fiziksel kararlılığı,
- 6.** Geniş bir pH, sıcaklık ve iyonik güç bölgesinde stabililik,
- 7.** Jelin transparan (şeffaf) olması.

Akrilamid, N,N'-metilen bisakrilamid, N,N,N',N'-tetrametilendiamin (TEMED) ve amonyum persülfat jelin meydana gelmesi için gerekli olan maddelerdir. Poliakrilamid jelinin meydana getirilişi bölüm 3.4.5.'de anlatılacaktır. Jelin gözenek büyülüğünü etkileyen faktörler;

**1.** Kullanılan akrilamid miktarı ve

**2.** Çapraz bağlarının sayısıdır (39,42).

Hem disk ve hem de slab jel elektroforezi yapılmaktadır. Fakat slab jelin bazı avantajları vardır;

**1.** Birçok numune aynı anda uygulanabilmektedir,

**2.** Dikdörtgen yüzeyiyle kolayca fotoğraf çekilebilmekte ve densitometre ile okunabilmektedir,

**3.** Elektroforez esnasında meydana gelen ısı, slab jellerde dağılır. Böylece ısı etkisiyle protein bantlarının bozulması azalmış olur.

Kesiksiz tampon sistemi, jellerde ve elektrodlarda aynı tamponun kullanıldığı, saf proteinlerin tayını için tek jel gerektiren ve kurulmasında kolay olan bir sistemdir. En önemli dezavantajı numunenin konsantr olmasının gerekligidir. Kesikli tampon sisteminde, tüm kısımlarda farklı tampon kullanılır. Üst kısmında gözenekleri büyük, pH 6.8 olan numunenin uygulandığı yiğma jeli, alt kısmında ise gözenek hacmi daha küçük ve proteinlerin

büyüklüğe göre bantları meydana getiren pH sı 8.8 olan ayırma jeli vardır. Kullanılan tank tamponunun pH sıda 8.3'dür (39,42,43).

Proteinler, bir deterjan maddesi olan SDS ve disulfür bağlarını indirgeyici madde olan merkaptoetanol varlığında elektroforeze tabi tutulursa, moleküler ağırlıkları belirlenebilir. Protein molekülleri SDS ile muamele edildiğinde, ikincil, üçüncü ve dördüncü yapıları bozulur ve SDS molekülleri ile kaplı lineer bir polipeptid zinciri meydana gelir. SDS-PAGE'de proteinler, moleküler ağırlıklarına göre göç ederler (15,37,39).

### **3 - MATERİYAL VE METOD**

#### **3.1. Kullanılan Kimyasal Maddeler, Cihazlar, Aletler ve Malzemeler**

##### **3.1.1. Kullanılan Kimyasal Maddeler**

Madde Adı	Moleküler Formül	Mol. Ağırlık (g/mol)	Alınan Firma
Akrilamid	C <sub>3</sub> H <sub>5</sub> NO	71.08	Sigma
Aktif Karbon	C	12.01	Sigma
Albümin (Sığır albümin)			Sigma
Amonyum Persülfat	(NH <sub>4</sub> ) <sub>2</sub> S <sub>2</sub> O <sub>8</sub>	228.20	Sigma
Amonyum Sülfat	(NH <sub>4</sub> ) <sub>2</sub> SO <sub>4</sub>	132.10	Sigma
Asetik Asit, glasial	CH <sub>3</sub> COOH	60.05	Merck
Bakır Sülfat Pentahidrat	CuSO <sub>4</sub> .5H <sub>2</sub> O	249.68	Merck
Bromfenol Mavisi	C <sub>19</sub> H <sub>9</sub> Br <sub>4</sub> O <sub>5</sub> SNa	691.90	Sigma
Coomassie Brilliant Blue G-250	C <sub>47</sub> H <sub>48</sub> N <sub>3</sub> O <sub>7</sub> S <sub>2</sub> Na	854.00	Serva
Etilendinitrilotetraasetikasit(Tritriplex® III)	C <sub>10</sub> H <sub>14</sub> N <sub>2</sub> Na <sub>2</sub> O <sub>2</sub> .2H <sub>2</sub> O	372.24	Merck
Folin ve Ciocalteu fenol reaktifi			Sigma
Gliserol (Gliserol)	C <sub>3</sub> H <sub>8</sub> O <sub>3</sub>	92.09	Sigma
Glisin	H <sub>2</sub> NCH <sub>2</sub> COOH	75.07	Merck
Hidroklorik asit	HCl	36.46	Merck
İzopropanol	C <sub>3</sub> H <sub>8</sub> O	68.15	Sigma
2-Merkaptoetanol	C <sub>2</sub> H <sub>6</sub> OS	78.13	Sigma
N,N'-Metilen bis-akrilamid	C <sub>7</sub> H <sub>10</sub> N <sub>2</sub> O <sub>2</sub>	154.20	Sigma
Potasyum-Sodyum Tartarat	C <sub>4</sub> H <sub>4</sub> KNaO <sub>6</sub> .4H <sub>2</sub> O	282.23	Merck
Sodyum Dodesil Sülfat	C <sub>12</sub> H <sub>25</sub> NaO <sub>4</sub> S	288.38	Merck
Sodyum Hidroksit	NaOH	40.00	Merck
Sodyum Karbonat	Na <sub>2</sub> CO <sub>3</sub>	105.99	Horosan Kimya
N,N,N',N'-Tetrametilamin (TEMED)	C <sub>6</sub> H <sub>16</sub> N <sub>2</sub>	116.20	Sigma
Tris(hidroksimetil)-aminometan	C <sub>14</sub> H <sub>11</sub> NO <sub>3</sub>	121.14	Merck

### **3.1.2. Kullanılan Malzemeler**

Malzeme Adı	Firması
Diyaliz Tüpü	Sigma
Miropipetler	
0.5-10 $\mu\text{L}$	Brohit Proline
10-100 $\mu\text{L}$	Socorex
200-1000 $\mu\text{L}$	Biohit Proline
1000 $\mu\text{L}$	Socorex
Şiringa	
1 $\mu\text{L}$	Hayat Şiringa
20 $\mu\text{L}$	Henke-Sass Walf

### **3.1.3. Kullanılan Cihazlar ve Aletler**

Cihaz Adı	Firması
Güç Kaynağı	Titan Plus
Hassas Terazi	Cyha MP-300
Magnetik Karıştırıcı	IKA-Labortechnik
pH-Metre	Hanna Instruments 8416
Santrifüj	Centra 4
Soğutmalı Santrifüj	Heraus Sepatech Suprafuge 22
Spektrofotometre	LKB Ultraspec K-4053
Vortex Karıştırıcı	Autovortex Mixer SA2

### **3.2. Kullanılan Çözeltiler ve Hazırlanmalari**

#### **1. Ghost elde etmede**

**1.1.** %0.9 NaCl - 5 mM Tris HCl (pH 7.4) : 9 g NaCl, 1000 mL deiyonize suda çözüldü. Böylece izotonik çözelti hazırlanmış oldu. 0.606 g Tris, 750 mL izotonik çözeltide çözüldü. Hidroklorik asit ile pH'sı 7.4'e ayarlandı. Son hacim yine izotonik çözeltiyle 1000 mL'ye tamamlandı. Bu hazırlanan, çözelti eritrosit paketlerini elde etmede kullanıldı.

**1.2.** 10 mM Tris-0.1 mM EDTA - HCl (pH 7.4) : 1.211g Tris ve 0.037g EDTA (Titriplex®-III, 750 mL kadar deiyonize suda çözüldü. HCl ile pH'sı 7.4'e ayarlandı. Son hacim 1000 mL'ye tamamlandı. Eritrosit paketlerinden ghost elde etme aşamasına kadar bu çözelti kullanılarak yıkama işlemi yapıldı.

#### **2. Protein çözeltisinin hazırlanmasında ve diyalizde**

**2.1.** 10 mM EDTA-HCl (pH 7.4) : 1.2'de anlatıldığı gibi hazırlandı. Bu çözelti protein suspansiyonunun hazırlanmasında ve diyaliz tamponu olarak kullanıldı.

**2.2.** %10'luk SDS : 10 g sodyum dodesil sülfat (SDS) deiyonize suyla 100 mL'ye tamamlanarak çözüldü. SDS'nin çözünebilmesi için su banyosundan faydalandırı. 37°C'de çözünmesi beklenir. SDS, soğukta kristalleşir. Bu nedenle, soğuk koşullarda çalışıldığında ilk önce ısı yardımıyla iyice çözünmesi sağlanır. Ghostlardan proteinleri açığa çıkarmada kullanıldı.

#### **3. Lowry metodu'nda**

**3.1.** 2xLowry Reaktifi : 20 g Na<sub>2</sub>CO<sub>3</sub> 260 mL suda, 0.4g CuSO<sub>4</sub>.5H<sub>2</sub>O 20 mL suda, 0.2 g sodyum potasyum tartarat 20 mL deiyonize suda çözüldü ve daha sonra bu üç çözelti karıştırılarak bakır reaktifi elde edildi. 10 g SDS 100 mL ve 4 g NaOH ise yine 100 mL deiyonize suda çözüldü. Kullanmadan hemen önce 3:1:1 oranında hacimlerde bakır reaktifi: SDS: NaOH karıştırılarak Lowry reatif elde edildi. Bu çözelti 2-3 hafta saklanabilir. Eğer çözeltide beyaz bir çökelek oluşursa 37°C'de ısınılır. Fakat siyah çökelek gözlenirse çözelti atılır.

**3.2.** 0.2 N Folin Reaktifi : 2 mL 2 N Folin reaktifi 20 mL deiyonize suyla karıştırıldı. Bu çözelti, karanlıkta ve oda sıcaklığında birkaç ay saklanabilir.

**3.3.** Albüm standartları : 10 mg albüm 100 mL 1 deiyonize suda çözülerek 0.1 mg/mL'lik albüm standarı hazırlandı. 0.1 mg/mL'lik albüm standardından 0.1 mg/mL'lik standard sırasıyla 10 mL, 5 mL ve 2.5 mL alınıp deiyonize suyla 20 mL ye tamamlandı. Bu işlemler sonucunda 0.1 mg/mL, 0.05 mg/mL, 0.025 mg/mL ve %0.0125 mg/mL'lik albüm standartları hazırlanmış oldu.

#### **4. Elektroforez'de**

**4.1.** Akrilamid-bisakrilamid (30 : 0.8) : 30 g akrilamid ve 0.8 g bisakrilamid, deiyonize suyla son hacim 100 mL'ye tamamlanarak çözüldü. Süzgeç kağıdıyla süzüldü. +4°C'de saklandı. Uzun süre saklanırsa, akrilamid monomeri, alkrilasit ve amonyağa hidrolizlenir. Akrilamid-bisakrilamid en fazla 1-2 ay saklanabilir.

**4.2.** %10'luk SDS : 3.2.2.2'deki gibi hazırlandı.

**4.3.** Amonyum Persülfat (%1.5 w/v): 0.030 g amonyum persülfat, 2 mL suda çözüldü. Bu çözelti dayaniksızdır. Bu nedenle kullanmadan hem önce hazırlandı.

**4.4.** Ayırma Jeli tamponu: 3.0 M Tris-HCl pH 8.8): 36.3 g Tris bir miktar deiyonize suda çözüldü. HCl kullanılarak pH sı 8.8'e ayarlandı. Son hacim deiyonize suyla 100 mL' ye tamamlandı. Süzgeç kağıdıyla süzüldü ve +4°C'de saklandı.

**4.5.** Yığma jeli tamponu (0.5 M Tris-HCl pH 6.8): 6.0 g Tris 75 mL'kadar deiyonize suda çözüldü. HCl ile pH 6.8'e titre edildi. Son hacim deiyonize suyla 100 mL'ye tamamlandı. Çözelti süzgeç kağıdı ile süzüldü. +4°C'de saklandı.

#### **4.6. Tank tamponu :**

**4.6.1.** Tank tamponu I: pH~8.3 (0.025 M tris, 0.192 M Glisin, %0.1 SDS): 3 g Tris, 14.4 g Glisin, 1 g SDS, 1L deiyonize suda çözüldü. +4°C'de saklandı.

**4.6.2.** Tank tamponu II: pH 8.3 (0.025 M tris, 0.152 M Glisin, %0.1 SDS, %0.05 EDTA) : 4.6.1'deki gibi hazırlandı. Yalnız ek olarak 0.500 g EDTA ilave edildi.

#### **4.7. Boyama ve boyama gidermede**

**1.** %25 izopropil alkol, %10 asetik asit, %0.05 Coomassie Brilliant Blue G-250: 75 mL izopropil alkol, 30 mL asetik asit ve 0.15 g Coomassie Brilliant Blue G-250 karıştırılarak son hacim deiyonize su ile 300 mL'ye tamamlandı.

**2.** %10 izopropil alkol, %10 asetik asit, %0.005 Coomassie Brilliant Blue G-250: 30 mL izopropil alkol, 30 mL asetik asit, 0.015 g Coomassie Brilliant G-250 karıştırılarak son hacim deiyonize su ile 300 mL'ye tamamlandı.

**3.** %10 asetik asit, %0.0025 Coomassie Brilliant G-250: 100 mL asetik asit, 0.025 g Coomassie Brillant G-250 karıştırılıp son hacim deiyonize su ile 1000 mL'ye tamamlandı.

**4.** %10 asetik asit: 100 mL asetik asit deiyonize suyla 1000 mL' ye tamamlanarak çözüldü.

**4.8.** İz bırakıcı boyası (%0.08 Bromfenol mavisi): 80 mg bromfenol mavisi 100 mL deiyonize suda çözüldü.

### **3.3. Numunelerin Toplanması**

K.T.Ü. Farabi Hastanesi kan bankasından temin edilen sağlıklı kişilerin kanlarıyla çalışma yapıldı. 400 mL kanda 63 mL sitrat-fosfat-dekstroz-adenin (CPDA) antikoagulant olarak kullanıldı. Antikoagulantın içeriği şöyledir;

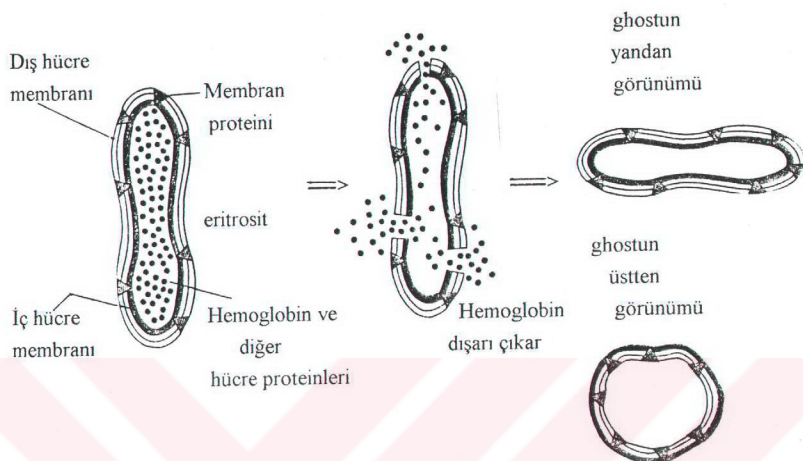
2	g	dekstroz,
1.66	g	sodyum sitrat,
206	mg	sitrik asit,
140	mg	monobazik sodyum fosfat,
17.3	mg	adenin.

### **3.4. Kullanılan Yöntemler**

#### **3.4.1. Ghost'un Elde Edilmesi**

H.Hamaguchi ve H.Cleve'in eritrosit ghost'u elde etme yöntemi modifiye edildi (44). 120 mL CPDA'lı kan 3000 rpm'de 10 dakika ve 4°C'de yüksek devirli soğutmalı santrifüjle santrifüjlendi. Üst kısmında kalan plazma ve lökosit tabakası su trombu ile alındı. Daha sonra eritrositler, %0.9 NaCl-5 mM Tris-HCl (pH 7.4) tamponu kullanılarak üç kez süspansiyon yapıldı. Her süspansiyon 3000 rpm'de 5 dk santrifüjlendi. Bu yıkama işlemi sonucunda yaklaşık 30-40 mL eritrosit paketi elde edildi. Eritrosit paketleri yaklaşık 5 hacim 10 mM Tris-0.1 mM EDTA-HCl (pH 7.4) ile süspanse edildi. İlk süspansiyon 13000 rpm'de 20 dk santrifüjlendi. Bu şekilde eritrositler hemoliz edilmiş oldu. Daha sonra yine aynı tampon kullanılarak yapılan süspansiyonlar, 20000 rpm'de 10'ar dakika santrifüjlendi. Bu şekilde 5-7 kez yıkama işlemi yapılarak hemoglobin uzaklaştırılmış oldu. Sonuçta yaklaşık 5mL kadar beyaz ghost elde edildi. Bu ghostun 1 mL'si elektroforezde, 4 mL'si de protein çözeltisi hazırlanmasında kullanıldı. Eritrosit ghostunun hazırlanması Şekil 3.1'de gösterilmiştir.

### Hücre lizisi



*Sekil 3.1.* Eritrosit ghostunun elde edilmesi (1).

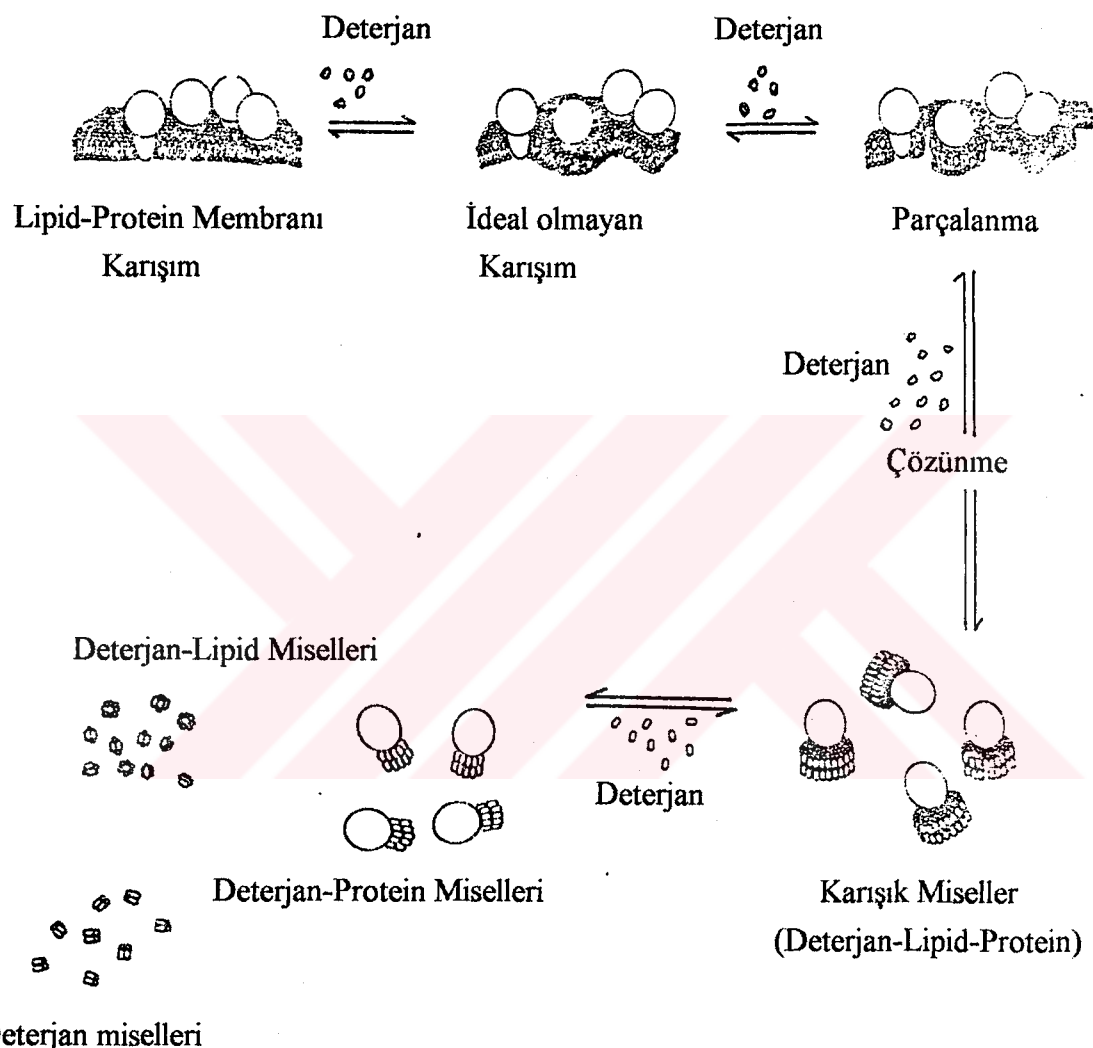
Hücre lizisi esnasında zararlı proteazlar saliverilir. EDTA, membran proteinlerinin proteolizini azaltmada etkili bir bileşiktir. Bu nedenle EDTA'lı tampon tercih edildi (38).



*Sekil 3.2.* Ghost elde etmek amacıyla santrifügenin kullanılması aşaması.

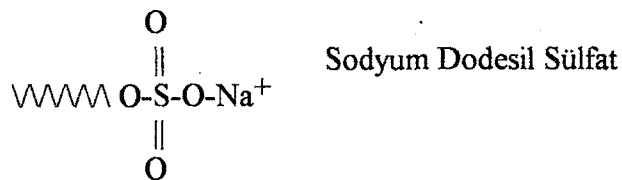
### 3.4.2. Proteinlerin Açığa Çıkarılması

Periferal proteinler, düşük iyonik güçteki tamponlar yardımıyla çözünebilmesine rağmen, integral proteinleri çözütmek için deterjanlara ihtiyaç vardır (45). Deterjanların biyolojik membranlarla etkileşmesi şematik olarak Şekil 3.3'de gösterilmiştir.



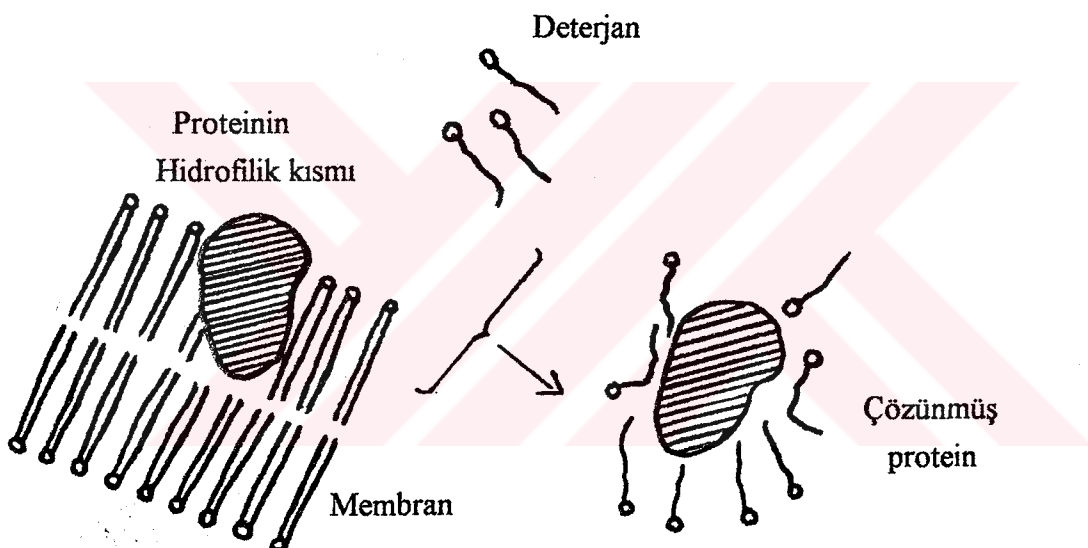
**Şekil 3.3.** Eritrosit membranında deterjan-protein misellerinin elde edilmesi (45).

Termodinamik kurallarına göre membran yapısındaki lipidleri proteinlerden ayırmak için amfifilik yapımlara ihtiyaç vardır. Bu yapımlarda deterjanlardır. Bizim çalışmamızda amfifilik deterjan olarak sodyum dodesil sülfat kullanıldı. Bu deterjan anyonik bir deterjandır (15).



SDS, hem polar, hem de nonpolar özelliklere sahiptir. Proteinin nonpolar böülümlerine gömülü nonpolar hidrofobik kısımları ile bağlanır (Şekil 3.4). Negatif yüklü sulfat çözücüye maruz kalır. SDS bağlanması iki etkiye yol açar (37);

1. Hidrofobik ve iyonik etkileşmelerle interferans meydana getirir. Birçok oligomerik protein, monomer altbirimlerine ayrılır ve ikincil yapısı bozulur.
2. Proteinler, negatif yüklü SDS molekülleri ile doygun hale gelirler. 1.4g SDS, 1g protein bağlayabilir.



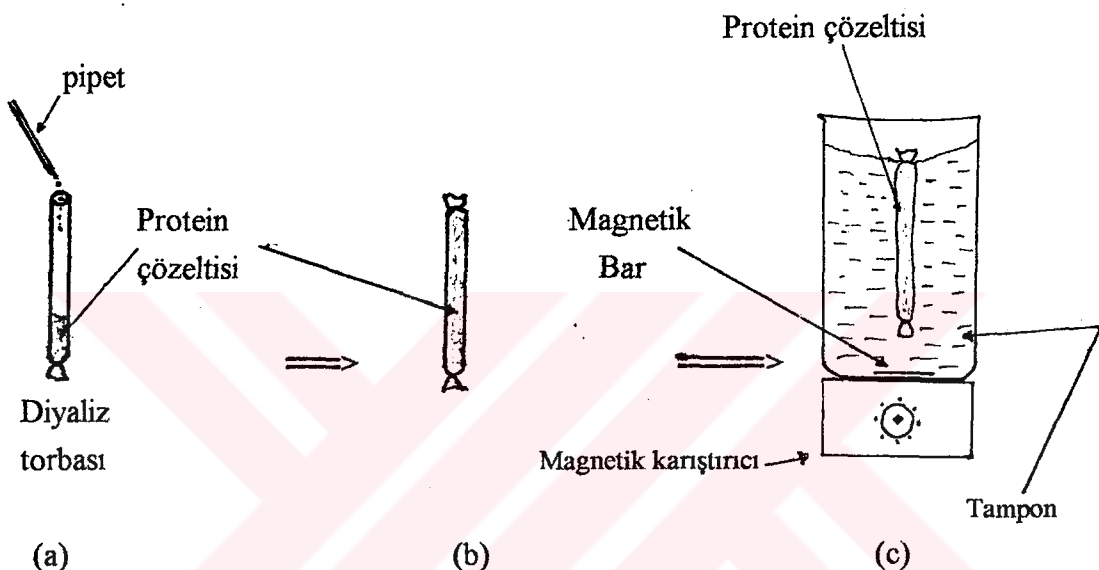
**Şekil 3.4.** Membrana yerleşik proteinlerin çözünmesine deterjanın etkisi (40).

4 mL ghusta %10'luk SDS çözeltisinden 2.5 mL ilave edilerek son hacim 10 mM Tris-0.1 mM EDTA-HCl (pH 7.4) ile 25 mL ye tamamlandı. Böylece proteinlerin %1'lük SDS'de çözünmesi sağlandı. Bir gece bu şekilde oda sıcaklığında bekletildi.

### 3.4.3. Sodyum Dodesil Sulfatin Diyalizle Uzaklaştırılması

Diyaliz işleminde, selüloz membrandan yapılmış diyaliz torbası kullanıldı. Bu torba yarı geçirgen bir zar olduğundan dolayı, SDS ve küçük moleküller dışarı çıkarken tampon içeriye girmektedir. Bu yüzden, diyaliz esnasında membranın yüzey alanı artmaktadır. Denge konsantrasyonuna erişildiğinde, çözünenlerin dağılımı her iki yönde de aynıdır (11,40).

Bir gece bekletilmiş olan 25 mL SDS-protein çözeltisini diyaliz işlemeye tabi tutabilmek için 15 cm civarında diyaliz torbası kesilip deionize suda şişirildi. Bir ucu düğümlendi. Protein çözeltisinin tamamı, bir pipet yardımıyla damlalar halinde diyaliz torbasına aktarıldı (Şekil 4.3.a). Torbanın diğer ucunda iyice düğünlendi (Şekil 4.3.b) ve bir beher içindeki 500 mL 10 mM Tris- 0.1 mM EDTA-HCl (pH=7.4) tamponuna konuldu. Diyaliz esnasında torbanın dik durmasını sağlamak amacıyla magnetik karıştırıcıda tampon, bar yardımıyla karıştırıldı. Barın torbaya değmemesi için uzun bir beher seçildi (Şekil 3.5.c.). Her iki saatte bir tampon değiştirildi. Bu şekilde 10 saat süreyle diyaliz işlemi yapıldı.



**Şekil 3.5.** SDS'nin diyalizle uzaklaştırılması.

Diyaliz işlemi sonunda çözeltinin hacmi tekrar ölçüldü ve hacmin 25mL'den yaklaşık 27-28 mL ye çıktığı tespit edildi.

#### 3.4.4. Proteinlerin Amonyum Sülfatla Çöktürülmesi

Amonyum sülfat protein çözeltisine ilave edildiğinde, su molekülleriyle etkileşir ve böylece suyun protein ile etkileşmesini önler. Bu nedenle, çözeltide amonyum sülfat molekülü sayısı arttıkça, suyun proteinle etkileşmesi azalacaktır (37,38).

Çalışmada, bu şekilde, amonyum sülfatla dehidrasyon işlemi yapılarak proteinlerin çökmesi sağlandı. İstenilen doygunlukta proteinlerin çökmesini sağlamak amacıyla aşağıdaki formülden yararlanıldı (46);

$$\text{İlave edilmesi gereken amonyum sülfat miktarı (g)} = \frac{1.77 \times Vx(S_2 - S_1)}{3.54 - S_2}$$

Burada  $V$  : Doygunluğa getirilecek çözeltinin hacmi (mL)

$S_1$  : Başlangıçtaki amonyum sülfat doygunluğu (%)

$S_2$  : İstenilen amonyum sülfat doygunluğu (%) dur.

Proteinlerin amonyum sülfatla çöktürülmesinde farklı yöntemler denendi. Fakat tüm yöntemlerde istenilen doygunluktaki protein çözeltileri 4 °C'de ve 12490 rpm'de (19000 g'de) 10 dakika santrifüjlendi.

**Yöntem I:** Protein çözeltisi %10, %20, %30, %40 ve %50 doygunluğa getirilerek proteinler elde edildi.

Diyaliz torbasından çıkarılan protein çözeltisinin hacmi ölçüldü. Bir behere aktarılıp, %10 doygunluğa getirebilmek için gerekli amonyum sülfat miktarı ilave edildi. Magnetik karıştırıcı ve bar yardımıyla iki dakika karıştırılarak amonyum sülfatın iyice çözünmesi sağlandı. Bu çözelti 24 saat 4 °C'de muhafaza edildi ve ertesi gün santrifüjlendi. Süpernatantın tekrar hacmi ölçülerek %20, %30, %40 ve %50 doygunluktaki protein çökelekleride birer gün arayla elde edildi. Elde edilen protein çökelekleri protein çözeltisinin hazırlanmasında kullanılan tampon ilave edilerek bir mikropipet yardımıyla alındı. Tüplere konulan protein çözeltileri -18°C'de saklandı.

**Yöntem II:** Protein çözeltisi %5, %10, %15, %20, %25, %30, %40, %50, %70 ve %80 doygunluğa getirilerek proteinler elde edildi.

Protein çözeltisini, istenilen doygunluğa getirebilmek için gerekli amonyum sülfat miktarı ilave edilerek, magnetik karıştırıcı ile 2 dakika amonyum sülfatın protein çözeltisi içinde çözünmesi sağlandı. Fakat birinci yöntemde olduğu gibi herhangi bir bekleme yapılmadı. Direkt olarak santrifüjlemeye tabi tutuldu. Her bir doygunlukta elde edilen proteinler tampon yardımıyla alınarak tüplere konuldu ve -18°C'de muhafaza edildi. %90 ve %100'luk doygunlukta hiç bir çökelme gözlenemedi.

**Yöntem III:** Protein çözeltisi, %5, %15, %25, %35, %45, %55, %65, %75, %85 doygunluğa getirilerek proteinler elde edildi. Bu yöntemin ikinci yöntemden tek farkı, istenilen doygunluklar arasındaki farklılıktı.

### 3.4.5. Amonyum Sülfatın Diyalizle Uzaklaştırılması

İstenilen doygunluğa getirilerek çöktürülen proteinlerle birlikte bir miktar amonyum sülfatında çökeceği düşünülerek, amonyum sülfatın proteinden uzaklaştırılması amacıyla sadece birinci yöntem için ikinci bir diyaliz işlemi yapıldı.

Diyaliz torbaları sadece tüpün ağzını kapatabilecek boyutta kesildi. Deionize suda şişirildi. Her bir tüpün ağzı selüloz membranı ile kapatıldı. Tüpler tersine çevrilerek deionize suya batırıldı. Bu şekilde 2 saat süreyle deionize suya karşı diyaliz yapıldı.

### **3.4.6. Lowry Metodu'yla Protein Tayini**

Bu metodda protein önce alkali bakır çözeltisi ile muamele edildi. Alkali ortamındaki  $\text{Cu}^{+2}$ , proteinin peptid bağlarıyla kompleks oluşturarak  $\text{Cu}^+$ 'e indirgendi. Daha sonra, Folin ve Ciocolteu'nun fenol reaktifi ilave edildi. Fosfotungstik ve fosfomolibdik asitlerin indirgenmesiyle molibdenyum mavisi ve tungsten mavisi renkleri meydana geldi (38).

Bu metodun hassasiyeti 2-100 mg arasındadır. Bu nedenle tüm numuneler 1:20 oranında dilüe edildi ve aşağıdaki açıklanan sırayla metod uygulandı.

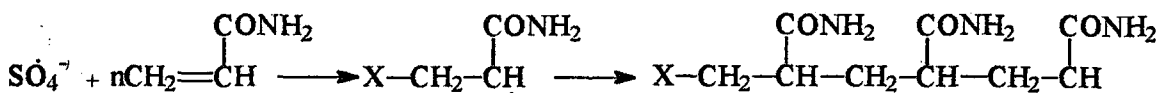
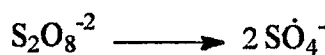
1. 400 şer  $\mu\text{L}$  kör, standardlar ve numuneler ayrı ayrı 400  $\mu\text{L}$  2xLowry reaktifine ilave edildi ve oda sıcaklığında 10 dakika bekletildi.
2. 200 mL 0.2 N folin reaktifi ilave edilerek hemen vortekslendi. Folin reaktifi asidik pH'da stabildir. Oysa indirginme alkali pH'da yapılmaktadır. Bu nedenle Folin reaktifi alkali bakır-protein çözeltisine ilave edildiğinde, hemen karıştırılması yapıldı. Böylece fosfomolibdik-fosfotungstat reaktifleri parçalanmadan indirgenmenin meydana gelmesi sağlanmış oldu. Vorteksleme bittiğten sonra 30 dakika oda sıcaklığında bekletildi.
3. 750 nm'de absorbansları okundu.

### **3.4.7. Sodyum Dodesil Sülfat-Poliakrilamid Jel Elektroforezi (SDS-PAGE)**

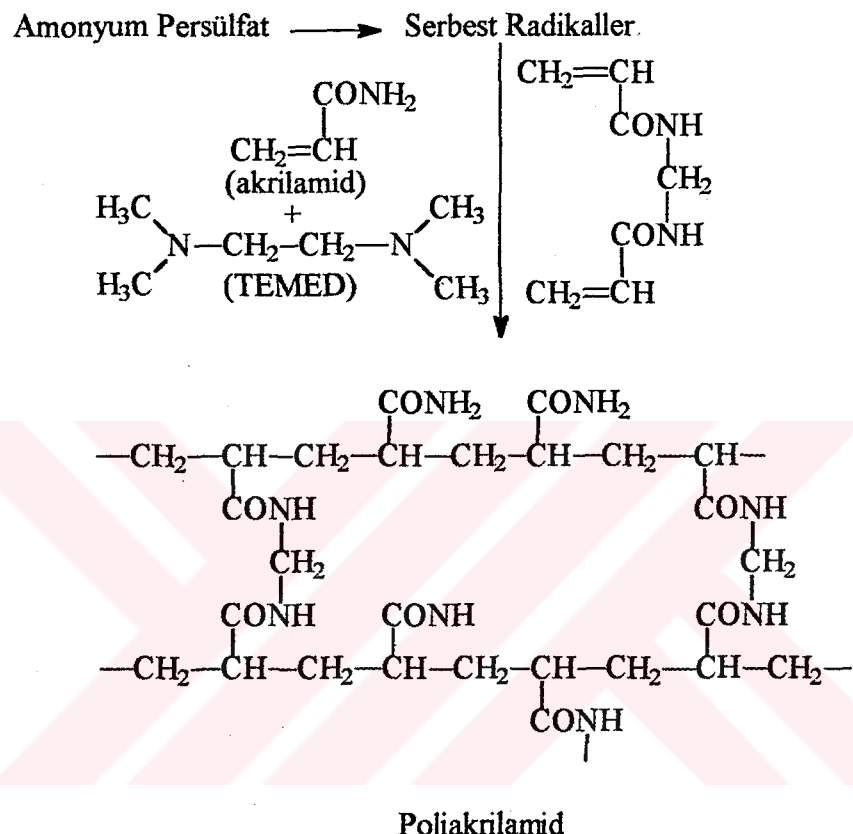
SDS-PAGE, moleküller elekleme ve elektroforetik hareketlilik esasına dayanmaktadır (41,47). Moleküllerin büyülüğu ise elektroforetik hareketliliği etkilemektedir. Küçük, moleküller, büyük moleküllerden daha hızlı hareket etmektedirler. Poliakrilamid jellerinde numune bileşenlerinin çözünürlüğü artmaktadır (39,42).

Jelin meydana gelme mekanizması şöyledir (39);

Amonyum persülfat suda çözündüğünde serbest radikalleri meydana getirir.



Bu radikaller, akrilamid ile reaksiyon meydana getirirler. Aktifleşmiş akrilamid, poliakrilamid molekülleri ile uzun bir polimer zinciri meydana getirmek üzere bir araya gelirler. Jel yapısını meydana getirmek için çapraz bağlara ihtiyaç vardır. Bunu da sağlayan N,N'-metilenbisakrilamiddir. N,N'-bisakrilamid, iki akrilamidin bir metilen köprüsü ile biraraya gelmesiyle meydana gelmiştir.



*Sekil 3.6. Jel meydana getirme mekanizmasının kimyasal reaksiyonlarla gösterimi (39)*

SDS-PAGE, Laemmli kesiki tampon sistemi ile yapıldı (41,43,48).

#### **3.4.7.1. Jellerin Hazırlanması**

##### **3.4.7.1.a. Ayırma Jelinin Hazırlanması**

Yöntem I için %10 akrilamid konsantrasyonunda ve diğer yöntemler için %8'lük akrilamid konsantrasyonundaki ayırma jelleri hazırlandı. Bu jellerin hazırlanmasında kullanılan çözeltilerin miktarları aşağıdaki tabloda verilmiştir.

<u>Çözelti</u>	<u>Yöntem I</u> Hacmi (mL)	<u>Yöntem II-III</u> Hacmi (mL)
Akrilamid-bisakrilamid (30:08)	10.0	8
Ayırma jeli tamponu (pH 8.8)	3.75	3.75
%10'luk SDS	0.3	0.3
%1.5'lik amonyum persülfat	1.5	1.5
Su	14.5	16.5
TEMED	0.015	0.015
Toplam	30	30

1. Yukarıda verilen ölçülerde çözeltiler alınıp jeller hazırlandı. Yalnız TEMED hemen ilave edilmmedi. Zehirli gazları uzaklaştırmak için karışım, kauçuk kapağı delinmiş bir şişeye alındı. Su trombu kaucuğa takıldı ve böylece bir dakika süreyle gazlar uzaklaştırılmış oldu.

2. TEMED ilave edildikten sonra, 20 mL'lik enjektör yardımıyla plakalar arasına döküldü. Yiğma jeli için 3.5-4 cm'lik bir yer bırakıldı. Enjektör, herhangi bir hava kabarcığının meydana gelmemesi için yavaşça bir köşeye tatbik edildi.

3. Polimerleşme yaklaşık 10-30 dakika sürdü. Jelin yüzeyini ince bir tabaka halinde düz olması için, ayırma jeli tamponu jel yüzeyine eklendi ve bir gece böyle bekletildi.

#### ***3.4.7.1.b. Yiğma Jelinin Hazırlanması***

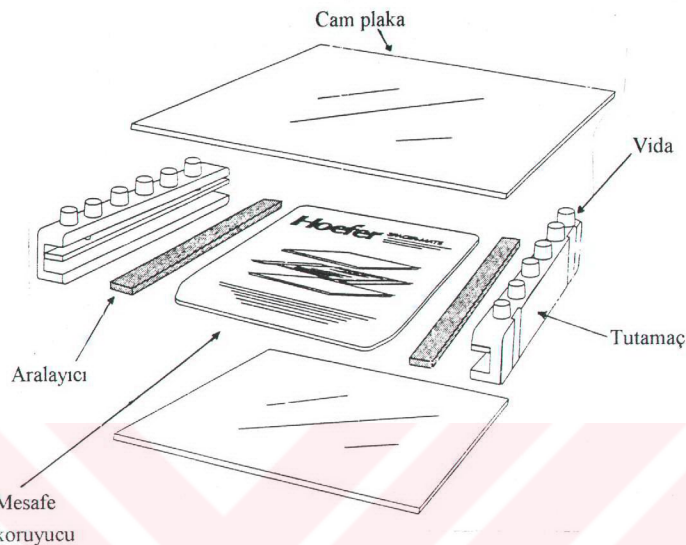
Yiğma jelleri, her üç yöntem için aynı şekilde hazırlandı. Jelin hazırlanmasında kullanılan çözeltilerin miktarları tabloda verilmiştir.

<u>Çözeltiler</u>	<u>Katılan miktarı (mL)</u>
Akrilamid-bisakrilamid (30:0,8)	2.5
Yiğma jeli tamponu	5.0
%10'luk SDS	0.2
%1.5'lik amonyum persülfat	1.0
Su	11.3
TEMED	0.015
Toplam	20

1. 3.4.7.1.a'daki birinci yol izlenerek yiğma jeli hazırlandı.

2. Bir gece bekletilen ayırma jeli üzerindeki tampon lavaboya döküldü ve ayırma jelinin üst kısmı, bir kez yiğma jeli çözeltisiyle yıkandı ve daha sonra bu çözelti de lavaboya boşaltıldı. Yiğma jeli, bu sefer yine enjektör yardımıyla hava kabarcığı oluşmayacak şekilde ayırma jelinin üzerine döküldü.

3. Numune kuyularını oluşturabilmek için tarak batırıldı. Bu esnada hava kabarcığının oluşmaması için yavaş ve dikkatlice hareket edildi.



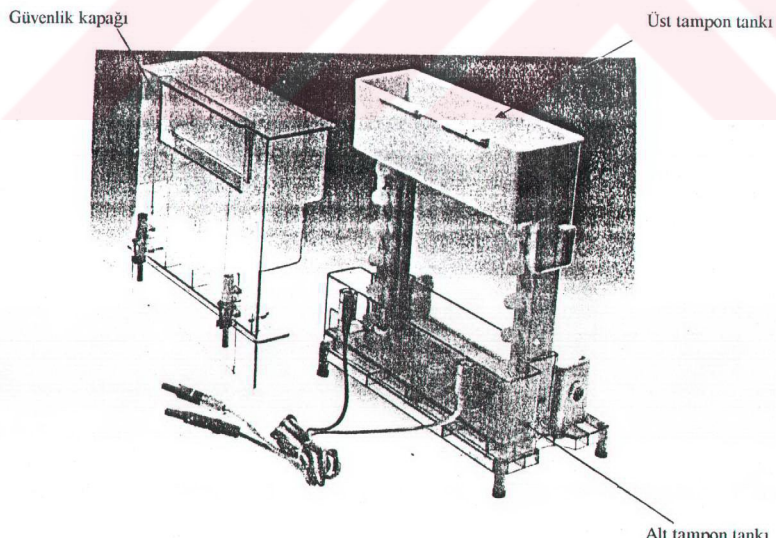
*Sekil 3.7.* Cam plakalarla sandviç elde edilmesi.



*Sekil 3.8.* Ayırma jelinin plakalar arasına enjektörle doldurulması.



**Şekil 3.9.** Yiğma jeline tarağın batırılarak numune kuyuları elde etmek amacıyla polimerizasyonun beklenmesi aşaması.



**Şekil 3.10.** Dikey slab jel elektroforez tezgahı.



**Şekil 3.11.** SDS-PAG elektroforezininde numunelerin 30 mA'de yürütülmesi.

#### **3.4.7.2. Numune Hazırlıkları ve Uygulanması**

##### **3.4.7.2.a. Slab Jelin Numune Uygulamaya Hazır Hale Getirilmesi**

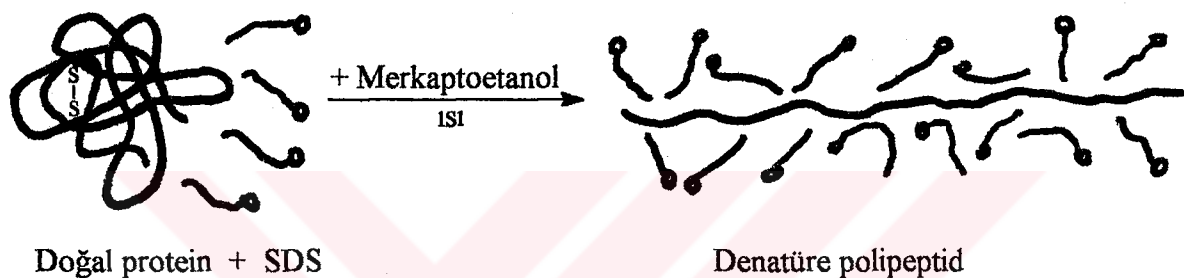
- 1.** Yiğma jelin de polimerleşme olduktan sonra, tarak yavaşça çıkarıldı.
- 2.** Numune kuyularına, enjektörle tank tamponu dolduruldu.
- 3.** Kalp tezgahtan çıkarılır ve ters çevrilerek tampon boşaltıldı. Böylece numune uygulamadan önce kuyular temizlenmiş oldu.
- 4.** Kalıp alt tampon tankının dar bölgesinde yerleştirildi.

##### **3.4.7.2.b. Numunenin Hazırllanması**

Lowry metoduyla tayin edilen protein miktarlarına göre numunelerin dilusyonu yapıldı. Numunelerin konsantrasyonları 2 mg/mL'ye getirmek için gerekli miktarlarda deionize su ilave edildi. Protein konsantrasyonu 2 mg/mL'nin altında olan numuneler direk işleme tabi tutuldu. Herbir tüpe 100  $\mu$ L protein çözeltisi pipetlendi ve daha sonra aşağıdaki maddeler sırasıyla ilave edildi.

<u>Cözelti adı</u>	<u>İlave edilen miktar(µL)</u>
%10'luk SDS	40
2-merkaptoetanol	10
Ayırma jelı tamponu (pH 6.8)	25
Gliserol	20
Bromfenol Mavisi	5
<hr/>	
Toplam	100 µL

İlk önce SDS ve 2-merkaptoetanol ilave edilerek proteinlerin denatürasyonu ve disülfür bağlarının indirgenmesi sağlandı (Şekil 3.12). Bu karışım 100°C'de 5 dakika ısıtıldı.



**Şekil 3.12.** Eritrosit membran proteininin denatüre edilmesi

Soğutulduktan sonra tablodaki diğer maddeler ilave edildi. Karışımın homojen bir çözelti haline gelmesi sağlandı. Böylece 1 mg/mL protein, %2 SDS, %5 2-merkaptoetanol, %10 gliserol, 0.0625 M Tris-HCl (pH 6.8) ve %0.002 bromfenol mavisi bir araya getirilerek denatüre protein numuneleri hazırlanmış oldu. Numuneye gliserol ilave etmenin amacı, numunenin kuyuların dibine çökmesini sağlamak ve böylece tank tamponunda dağılmmasını önlemekti. pH sı 6.8 olan tampon ilave etmenin amacı ise numunenin pH'sını yiğma jelinin pH sına göre ayarlamaktı. Numune oldukça asidik olduğu zaman normalde bromfenol mavisi ilave edildiğinde mavi olması gerekken numunenin rengi sarı olacaktır. Bromfenol mavisi ilave etmenin amacı ise numunenin yürüdüğü yeri tespit etmekti.

Numunedede olabilecek çökelekleri uzaklaştırmak için denatüre numuneler 12000 rpm'de 15 dakika santrifüjlendi.

### **3.4.7.2.c. Numunelerin Kuyuların Yerleştirilmesi**

1. Temizlenmiş numune kuyuları tank tamponuyla dolduruldu.
2. 1 mL'lik enjektörle her bir kuyuya 25 µL denatüre numune ilave edildi.

### **3.4.7.3. Tank Tamponunun Doldurulması ve Elektroforezin Başlatılması**

1. Üst tampon tankına numune ilave edilmeden önce, sandviçin üzeri, tamponun köşelerden sızmamasını önlemek amacıyla şeritle kapatıldı ve üst tampon tankı kamlarla sıkıştırıldı.
2. Alt ve üst tampon tankı 350'şer mL tampon ile dolduruldu.
3. Güvenlik kapağı takıldı. Katod(-) üst tampon tankına, anot(+) ise alt tampon tankına takıldı.
4. 30 mA'lık sabit akımda iz bırakıcı boyaya (bromfenol mavisi) alt tampon bölmesine ulaşınca kadar elektroforez işlemi sürdürüldü. Birinci tank tamponu ile yaklaşık 5 saatlik elektroforez işlem sürerken, ikinci tank tamponu (EDTA'lı) ile yaklaşık 7 saatlik işlem sürdü.

### **3.4.7.4. Slab Jelin Tezgahtan Çıkarılması**

1. Elektroforez işlemi bittikten sonra güç kaynağı kapatılıp, güvenlik kapağı çıkartıldı ve üst tampon döküldü.
2. Sandviç, düz bir zemine koymalarak plastik takoz yardımıyla üstteki cam plaka alındı.
3. Yığma jeli kısmı atılarak sadece ayırma jeli, iki elle dikkatli bir şekilde alınarak boyanın içine konuldu.

### **3.4.7.5 Boyama ve Boya Giderme İşlemi**

Eritrosit ghostu protein bantlarını gözlemleyebilmek için boyaya maddesi olarak Coomassie Brilliant Blue G-250 kullanıldı.

Protein bandları dört aşamalı boyama ve boyaya giderme işleminden sonra net bir şekilde gözlendi.

1. Jel, %25 izopropil alkol, %10 asetik asit ve %0.05 Coomassie Brilliant Blue G-250 ihtiva eden boyaya çözeltisinde bir gece,
2. %10 izopropil alkol, %10 asetik asit ve %0.005 boyaya ihtiva eden çözeltide 8 saat,
3. %10 asetik asit, %0.0025 boyaya bulunan çözeltide bir gece ve
4. %10 asetik asit, ihtiva eden çözeltide jel tamamıyla beyazlaşıp bantlar iyice belirginleşinceye kadar bekletildi (48,49).

Daha sonra meydana gelen bantlar arasında karşılaştırma yapılarak değerlendirme yapıldı.

### ***3.4.8. Boya Giderme Çözeltisinden Boyanın Uzaklaştırılması***

Boya giderme işlemi sonunda %10'luk asetik asit çözeltisi mavi rengi almıştı. Bu mavi rengi ve dolayısıyla boyayı uzaklaştırmak için aktif karbon kullanıldı (50).

1. Bir huni etrafında, süzme kagitları yardımıyla aktif karbon yatağı oluşturuldu.
2. Boya giderme çözeltisi bu yataktan geçirildi ve sonunda beyaz %10'luk asetik asit çözeltisi elde edildi.

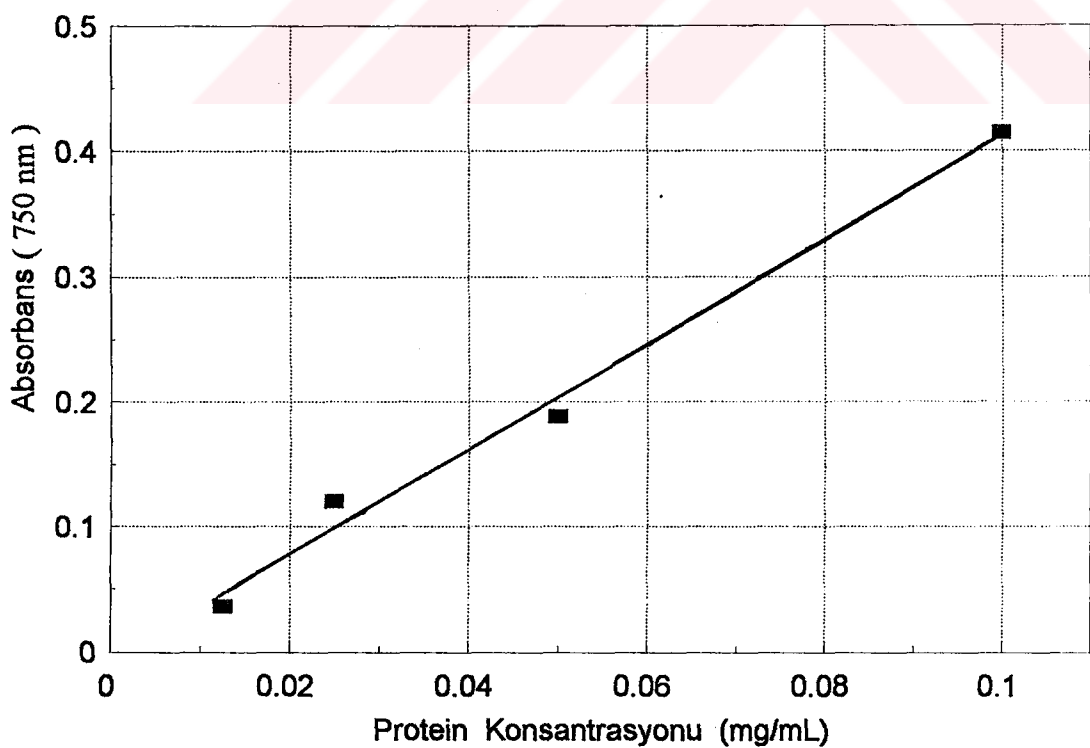
#### **4. BULGULAR**

##### **4.1. Lowry Metoduyla Protein Tayini İçin Kullanılan Standart Grafik**

Meydana gelen ghostun ve amonyum sülfat çökeltmesi sonucu elde edilen proteinin kantitatif olarak tayinini yapabilmek ve kuyulara konulacak protein miktarını tespit etmek amacıyla Lowry metoduyla protein tayininin yapılması Bölüm 3.4.6.'da anlatılmıştı. 750 nm'de yapılan ölçümler sonucu bulunan absorbans değerleri şöyledi;

<u>Standart (mg/mL)</u>	<u>Absorbans</u>
0.0125	0.037
0.0250	0.107
0.0500	0.189
0.1000	0.415

Bu veriler doğrultusunda çizilen standart grafik (Şekil 4.1) kullanılarak, ghostun ve herbir amonyum sülfat doygunluğunda elde edilen proteinin ölçülen absorbans değerine karşılık kantitatif miktarı tespit edildi.



**Şekil 4.1.** Lowry yöntemiyle protein tayininde kullanılan standart grafik.

#### **4.2. Ghostlarda Tespit Edilen Protein Miktarlarının Değerlendirilmesi**

Yöntem I, II ve III için sırasıyla 30, 10 ve 10 olmak üzere toplam 50 numune kullanıldı. Hamaguchi ve Cleve metodу modifiye edilerek yapılan çalışma neticesinde elde edilen ghostun protein miktarları 1.89 mg/mL ile 2.39 mg/mL arasında bir dağılım göstermiştir. Ortalama eritrosit ghostu protein değeri  $2.15 \pm 0.06$  olarak bulundu.

Tablo 4.2' de No 1-30 arası yöntem I, 31-40 arası yöntem II ve 41-50 arası yöntem III için kullanılan ghostların protein değerleri gösterilmiştir.

**Tablo 4.2. Eritrosit Ghostları Protein Değerleri**

No	Protein Değeri (mg/mL)	No	Protein Değeri (mg/mL)
1	2.15	26	1.98
2	2.28	27	2.21
3	2.03	28	2.16
4	2.36	29	2.14
5	2.17	30	2.01
6	2.12	31	2.08
7	2.25	32	1.98
8	2.08	33	2.34
9	2.01	34	2.22
10	2.16	35	2.07
11	1.97	36	2.12
12	2.00	37	2.32
13	2.11	38	2.01
14	2.35	39	1.96
15	2.39	40	2.16
16	2.18	41	2.11
17	2.25	42	2.09
18	2.33	43	2.35
19	2.01	44	2.27
20	2.17	45	2.29
21	2.24	46	2.18
22	2.25	47	2.34
23	2.02	48	1.94
24	1.89	49	2.27
25	2.39	50	2.02

#### 4.3. Yöntem I ile Eritrosit Membranı Proteinleri

Yöntem I'de %10, %20, %30, %40 ve %50 amonyum sülfat doygunluklarında, 24 saat bekletilerek elde edilen ve ghost'da bulunan eritrosit membranı proteinleri, 30 numune kullanılarak karşılaştırılmıştır. Bantların isimlendirilmesinde literatürlerden faydalانılmıştır (1,2,6,19). Şekil 4.3.1'de EDTA'sız tank tamponu ve Şekil 4.3.2 ve 4.3.3'de EDTA'lı tank tamponu kullanılarak yapılan elektroforez sonuçlarında, bantların görünümü açısından EDTA'lı tamponun daha iyi sonuç verdiği gözlenmiştir. Ayrıca, amonyum sülfat çöktürmesiyle, bant 4.2 dimerik yapıda, bant 4.5 çoğu zaman dimer ve bazında trimer yapıda görülmüştür. Tablo 4.3.2'de, herbir doygunlukta tüm bantların görülebildiği verilmiştir. %10'luk amonyum sülfat doygunluğu için görülebilme oranı şöyle hesaplanmıştır;

$$\text{Tüm bantların görülebildiği numune sayısı} \\ \text{Tüm bantların görülebilme oranı} = \frac{\text{Tüm bantların görülebildiği numune sayısı}}{\text{Toplam numune sayısı}} \times 100$$

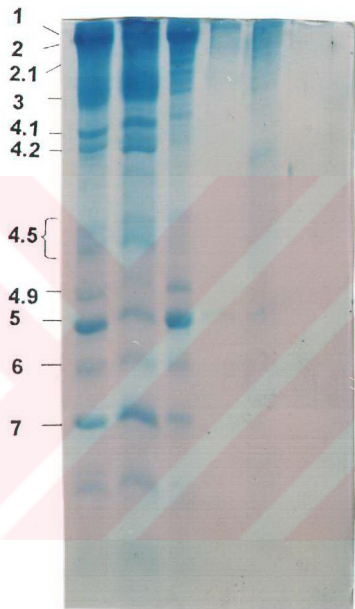
$$= \frac{315}{330} \times 100 = 95.5$$

Toplam 11 bant ve herbir bant 30 numune üzerinden değerlendirildiğinden, toplam numune sayısı 330 ( $11 \times 30$ ) olarak alınmıştır ve tüm bantların görülebildiği numune, sayısında 330 üzerinden değerlendirilmiştir.

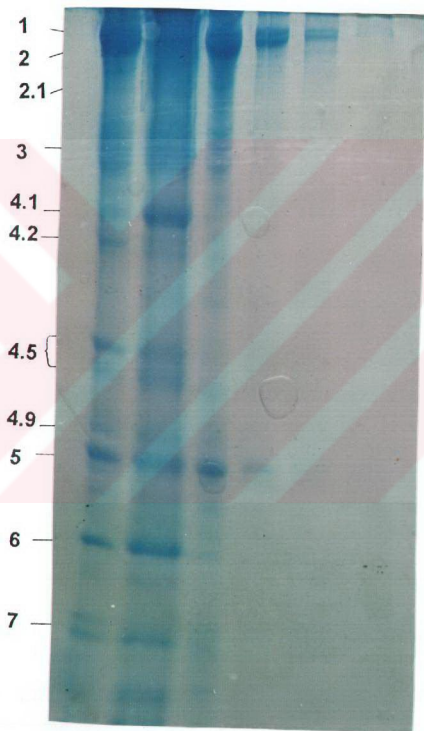
Şekil 4.3.5'de eritrosit membranı proteinlerinin herbir doygunlukta elde edilebilme oranları verilmiştir. Burada tüm bantların herbir doygunluğa nasıl dağıldığı gösterilmek istenmiştir. Tüm bantların en fazla görülebildiği %10'luk amonyum sülfat doygunluğu için bu oranın nasıl bulunduğu aşağıda gösterilmiştir;

$$\text{Tüm bantların görülebilme} \\ \text{orani} \\ \text{Proteinlerin \%10 } (\text{NH}_4)_2\text{SO}_4 \text{ doygunluğunda} = \frac{\text{Tüm bantların görülebilme}}{\text{bulunabilme oranı}} \\ \text{orani} \quad \text{Tüm bantların görülebilme} \\ \text{orani toplamı} \\ = \frac{95.5}{249.5} \times 100 = 38.3$$

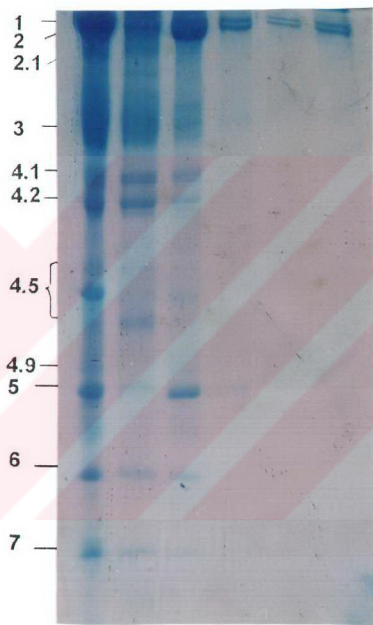
Buna göre eritrosit membran proteinlerinin % 38.3'ü % 10'luk amonyum sülfat doygunluğunda toplanmıştır.

**Bant**

*Sekil 4.3.1. EDTA'sız tank tamponu kullanılarak sırasıyla ghost (Gh), %10, %20, %30, %40 ve %50'lik  $(\text{NH}_4)_2\text{SO}_4$  doygunluklarında elde edilen eritrosit membranı protein bantlarının görünümü.*

**Bant**

*Sekil 4.3.2.* EDTA'lı tank tamponu kullanılarak, ghost (Gh) ve %10, %20, %30, %40 ve %50'lük  $(\text{NH}_4)_2\text{SO}_4$  doygunluğunda elde edilen eritrosit membranı protein bantlarının görünümü.

**Bant**

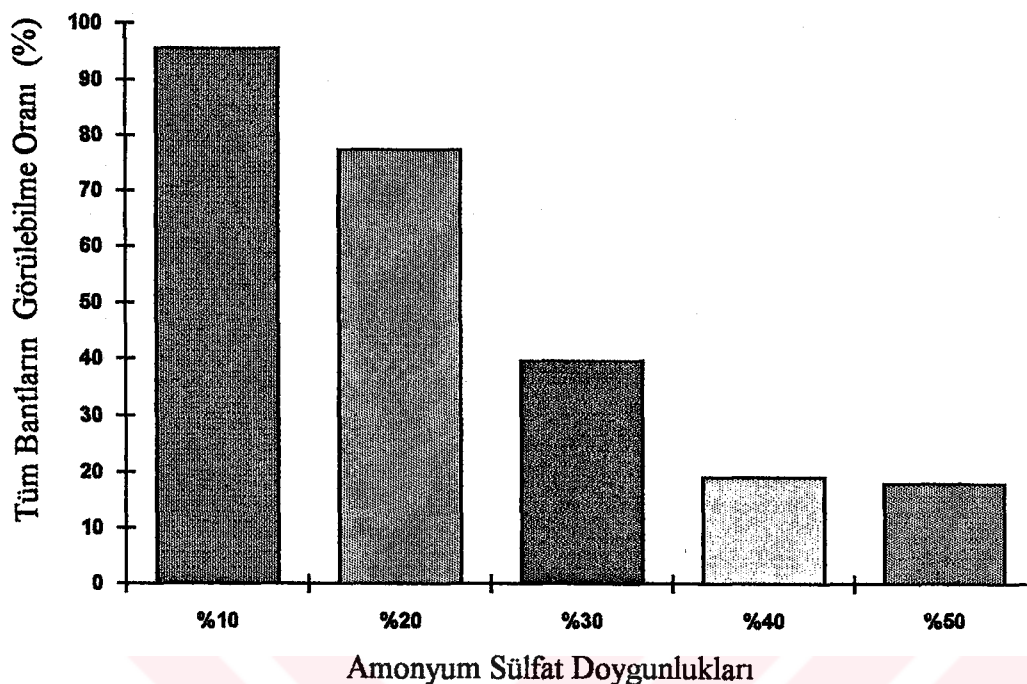
*Sekil 4.3.3.* EDTA'lı tank tamponu kullanılarak, ghost (Gh) ve %10, %20, %30, %40 ve %50'lik  $(\text{NH}_4)_2\text{SO}_4$  doygunluklarında elde edilen eritrosit membranı protein bantlarının görünümü.

**Tablo 4.3.1.** Birinci yöntem için %10, %20, %30, %40 ve %50'lik amonyum sülfat doygunluklarında elde edilen herbir eritrosit membranı proteini bandının 30 numune üzerinde görülebilme sıklığı.

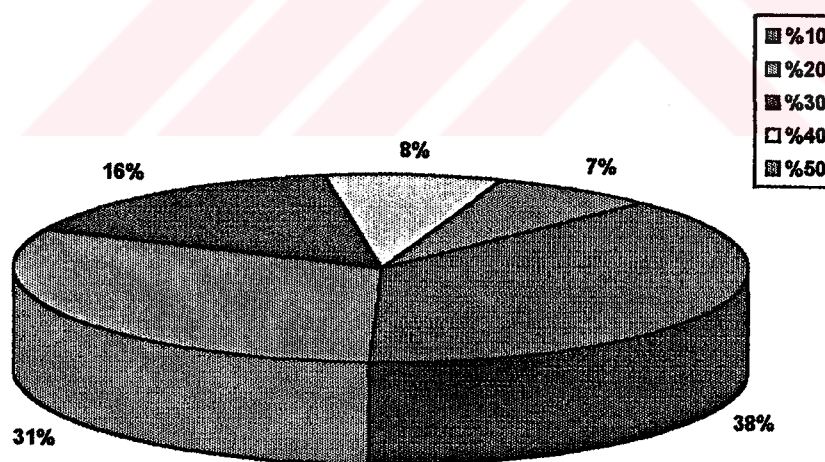
<i>Bant</i>	<i>Ghost</i>	<i>(NH<sub>4</sub>)<sub>2</sub>SO<sub>4</sub> Doygunluğu</i>				
		%10	%20	%30	%40	%50
1	30	30	30	30	29	28
2	30	30	30	30	29	28
2.1	30	30	30	25	4	3
3	30	30	30	13	1	0
4.1	30	30	7	3	0	0
4.2	30	28	4	0	0	0
4.5	30	26	16	1	0	0
4.9	30	21	28	1	0	0
5	30	30	30	22	0	0
6	30	30	28	3	0	0
7	30	30	22	0	0	0

**Tablo 4.3.2.** %10, %20, %30, %40 ve %50 (NH<sub>4</sub>)<sub>2</sub>SO<sub>4</sub> doygunluklarında tüm bantların görülebilme oranları.

	<i>(NH<sub>4</sub>)<sub>2</sub>SO<sub>4</sub> Doygunluğu</i>				
	%10	%20	%30	%40	%50
% Tüm bantların görülebilme oranı	95.5	77.3	39.7	19.1	17.9



**Sekil 4.3.4.** Yöntem I'de her bir doygunlukta tüm bantların görülebilme oranlarının karşılaştırılması.

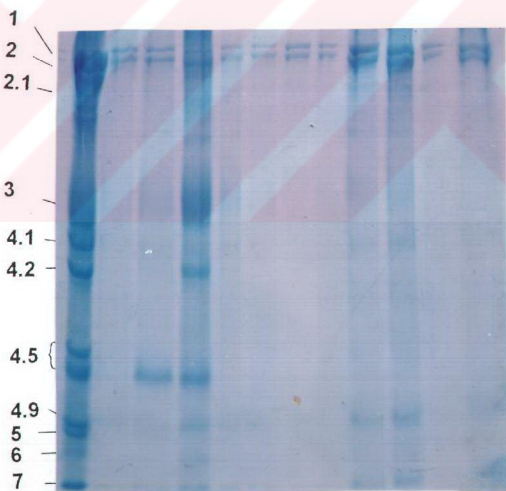


**Sekil 4.3.5.** Eritrosit membranı proteinlerinin %10, %20, %30, %40 ve %50 amonyum sülfat doygunluklarında elde edilebilme oranları.

#### 4.4. Yöntem II ile Eritrosit Membranı Proteinleri

Yöntem II'de %5, %10, %15, %20, %25, %30, %40, %50, %60, %70 ve %80  $(\text{NH}_4)_2\text{SO}_4$  doygunluklarında herhangi bir bekleme yapılamadan elde edilen ve ghostta bulunan eritrosit membranı proteinleri 10 numunede karşılaştırılmıştır. Şekil 4.4.1.'de EDTA'lı tank tamponu kullanılarak yapılan elektroforez sonucu, tablo 4.4.1.'de ise herbir doygunlukta ve ghostaki eritrosit membranı bantlarının 10 numune üzerinden görülebilme oranları değerlendirilmiştir. Tablo 4.4.2.'ye göre bantların en fazla görülebildiği amonyum sülfat doygunluğu %88.2 görülebilme orANIyla %15'lük doygunluk olduğu tespit edilmiştir. Bu oranının hesaplanması 4.3.'de anlatıldığı gibi yapılmış fakat toplam numune sayısı 110 üzerinden değerlendirilmiştir. Şekil 4.4.3.'de ise herbir amonyum sülfat doygunlığında eritrosit membranı proteinlerini ne kadarının çöktürülebildiği gösterilmiştir. Buna göre bantların %17.9'u %15'lük, %15.2'i ise %10'luk amonyum sülfat doygunluklarında yer almaktadır.

##### Bant



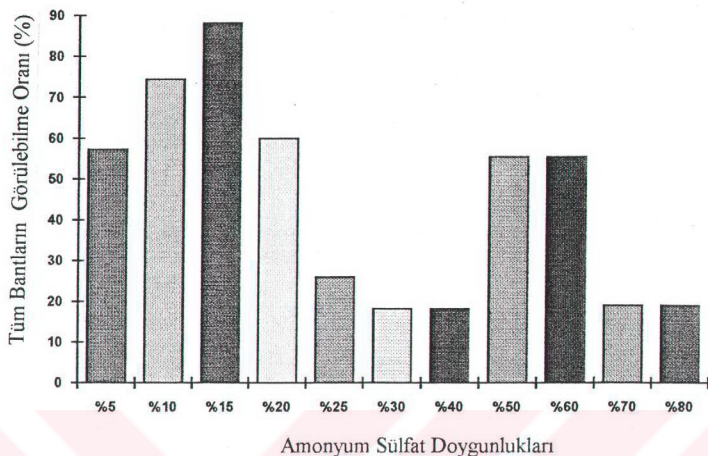
*Şekil 4.4.1. Sırasıyla ghost, %5, %10, %15, %20, %25, %30, %40, %50, %60, %70 ve %80'lük  $(\text{NH}_4)_2\text{SO}_4$  doygunluklarında elde edilen eritrosit membranı protein bantlarının görünümü.*

**Tablo 4.4.1.** İkinci yöntem için %5, %10, %15, %20, %25, %30, %40, %50, %60, %70, %80 amonyum sülfat doygunluklarında elde edilen herbir eritrosit membran proteinî bandının 10 numunede görülebilme sıklığı.

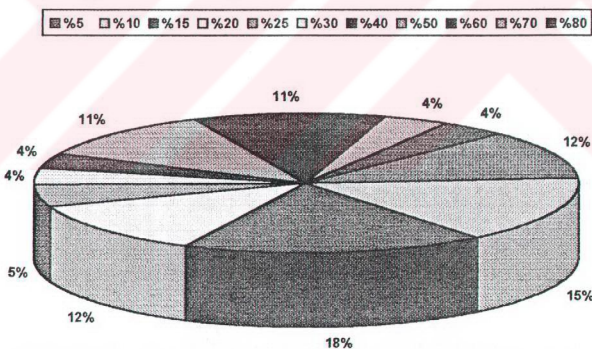
Bant	Ghost	$(NH_4)_2SO_4$ Doygunluğu										
		%5	%10	%15	%20	%25	%30	%40	%50	%60	%70	%80
1	10	10	10	10	10	10	10	10	10	10	10	10
2	10	10	10	10	10	10	10	10	10	10	10	10
2.1	10	9	10	10	9	1	0	0	10	10	1	0
3	10	7	10	10	9	1	0	0	10	9	0	0
4.1	10	6	6	9	9	0	0	0	8	8	0	0
4.2	10	4	6	9	2	0	0	0	0	1	0	0
4.5	9	0	8	8	0	0	0	0	0	0	0	0
4.9	10	0	0	2	0	0	0	0	0	0	0	0
5	10	6	8	10	7	3	0	0	5	5	0	1
6	10	5	5	9	3	1	0	0	3	3	0	0
7	10	6	9	10	7	3	0	0	5	5	0	0

**Tablo 4.4.2.** %5, %10, %15, %20, %25, %30, %40, %50, %60, %70 ve %80  $(\text{NH}_4)_2\text{SO}_4$  doygunluklarında tüm bantların görülebilme oranları.

	(NH <sub>4</sub> ) <sub>2</sub> SO <sub>4</sub> Doygunluğu										
	%5	%10	%15	%20	%25	%30	%40	%50	%60	%70	%80
% Tüm bantların görülebilme oranı	57.3	74.5	88.2	60.0	26.0	18.2	18.2	55.5	55.5	19.0	19.0



*Sekil 4.4.2.* Yöntem II'de her bir doygunlukta tüm bantların görülebilme oranlarının karşılaştırılması.

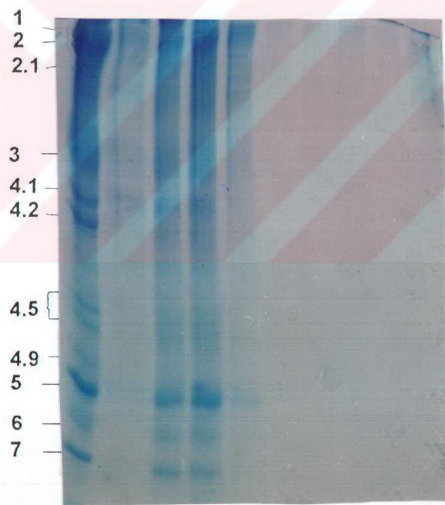


*Sekil 4.4.3.* Eritrosit membranı proteinlerinin %5, %10, %15, %20, %25, %30, %40, %50, %60, %70 ve %80 amonyum sulfat doygunluklarında elde edilebilme oranları.

#### 4.5. Yöntem III ile Eritrosit Membranı Proteinleri

Yöntem III'de %5, %15, %25, %35, %45, %55, %65, %75 ve %85 amonyum sülfat doygunluklarında bekletilmeden elde edilen ve ghostta bulunan eritroit membranı proteinleri 10 numune'de karşılaştırılmıştır. Şekil 4.5.1'de EDTA'lı tank tamponu kullanılarak yapılan elektroforez sonucu, Tablo 4.5.1'de ise herbir doygunluktaki ve ghosttaki eritrosit membranı bantlarının 10 numune üzerinde görülebilme oranları gösterilmiştir. Tablo 4.5.2 ve Şekil 4.5.2'ye göre bantların en fazla görülebildiği amonyum sülfat doygunluğu, %92.7 görülebilme orANIyla %15'lük doygunluk olduğu tespit edilmiştir. Şekil 4.5.3'de ise herbir amonyum sülfat doygunluğunda eritrosit membranı proteinlerinin ne kadarının çöktürülebildiği gösterilmiştir. Buna göre proteinlerinin %23.3'ü tüm bantlarının en fazla gözlenebildiği %15'lük amonyum sülfat doygunluğunda toplanmıştır.

Bant



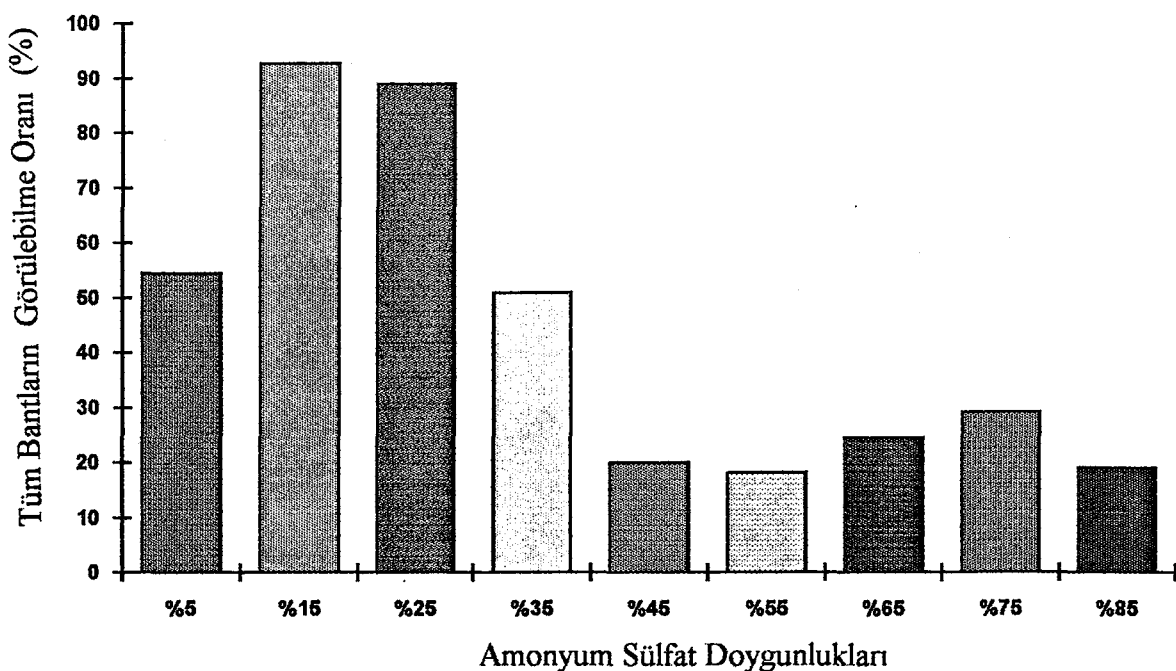
*Şekil 4.5.1. Sırasıyla Ghost, %5, %15, %25, %35, %45, %55, %65, %75 ve %85'lük  $(\text{NH}_4)_2\text{SO}_4$  doygunluklarında cökelen eritrosit membranı proteinlerinin görünümü.*

**Tablo 4.5.1.** Üçüncü yöntem için %5, %15, %25, %35, %45, %55, %65, %75 ve %85'lük amonyum sülfat doygunluklarında elde edilen herbir eritrosit membranı proteini bandının 10 numune üzerinden görülebilme sıklığı.

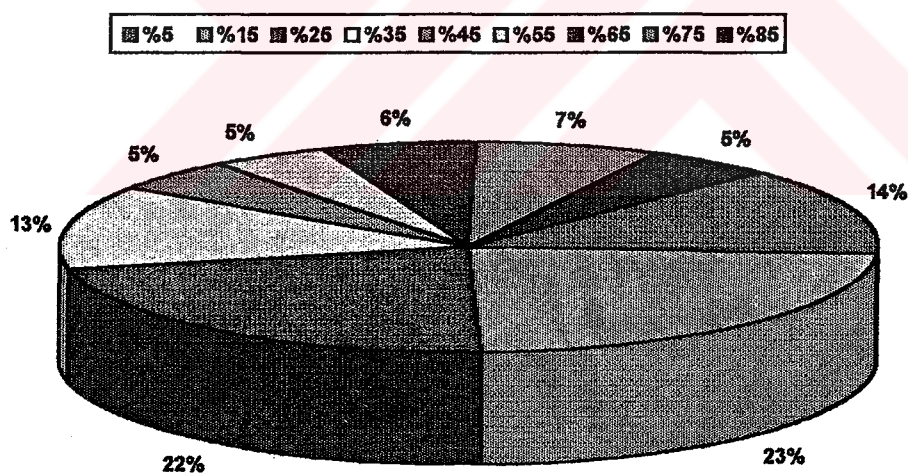
<i>Bant</i>	<i>Ghost</i>	<i>(NH<sub>4</sub>)<sub>2</sub>SO<sub>4</sub> Doygunluğu</i>								
		%5	%15	%25	%35	%45	%55	%65	%75	%85
<b>1</b>	10	10	10	10	10	10	10	9	9	9
<b>2</b>	10	10	10	10	10	10	10	9	9	9
<b>2.1</b>	10	10	10	10	9	2	0	0	3	3
<b>3</b>	10	8	10	10	7	0	0	0	0	0
<b>4.1</b>	10	7	10	10	6	0	0	0	0	0
<b>4.2</b>	10	4	8	8	0	0	0	0	0	0
<b>4.5</b>	10	0	8	6	0	0	0	0	0	0
<b>4.9</b>	10	0	6	6	0	0	0	0	0	0
<b>5</b>	10	4	10	10	8	0	0	3	4	0
<b>6</b>	10	3	10	10	3	0	0	3	3	0
<b>7</b>	10	4	10	10	3	0	0	3	4	0

**Tablo 4.5.2.** %5, %15, %25, %35, %45, %55, %65, %75 ve %85'lük (NH<sub>4</sub>)<sub>2</sub>SO<sub>4</sub> doygunluklarında tüm bantların görülebilme oranları.

	<i>(NH<sub>4</sub>)<sub>2</sub>SO<sub>4</sub> Doygunluğu</i>								
	%5	%15	%25	%35	%45	%55	%65	%75	%85
% Tüm bantların görülebilme oranı	54.5	92.7	89.1	50.9	20.0	18.2	24.5	29.1	19.1



**Sekil 4.5.2.** Yöntem III'de her bir doygunlukta tüm bantların görülebilme oranlarının karşılaştırılması.



**Sekil 4.5.3.** Eritrosit membranı proteinlerinin %5, %15, %25, %35, %45, %55, %65, %75 ve %85 amonyum sulfat doygunluklarında elde edilebilme oranları.

## **5. TARTIŞMA**

Bu çalışmada, eritrosit membranı proteinlerinin farklı amonyum sülfat doygunluklarında elde edilebilirliği, sodyum dodesil sülfat-poliakrilamid jel elektroforezi (SDS-PAGE) ile incelenmiştir. SDS-PAGE, proteinlere spesifik Coomassie Brilliant Blue ile boyandığında, normalde 11 eritrosit protein bandı gözleねebilmiştir. Bu bantlar, elektroforezde göç ediş sırasına göre, bant 1,2 (spektrin), bant 2,1 (ankirin), bant 3 (anyon değiştirici protein), bant 4,1, 4,2, 4,5, 4,9, bant 5 (aktin), bant 6 (gliseraldehid 3-fosfat dehidrogenaz) ve bant 7 (tropomiyozin) dir (1,2). Bütün bu bantlar bölüm 2.3'de ayrı ayrı anlatılmış, ayrıca özellikleri ve fonksiyonları EK-3'de özetlenmiştir.

Bu tartışmada, aşağıdaki sıralamaya göre tüm denemeler ve çalışmalar ayrı ayrı değerlendirilmiş ve en sonunda da genel bir değerlendirme yapılmıştır;

- 1.** Eritrosit ghostlarının elde edilmesi,
- 2.** SDS ile proteinlerin açığa çıkarılması,
- 3.** SDS'nin uzaklaştırılmasında diyaliz işlemi,
- 4.** Eritrosit membranı proteinlerinin amonyum sülfatla ayrılması yöntemleri,
- 5.** Lowry metodu,
- 6.** Denatüre protein numunelerinin hazırlanması,
- 7.** SDS-PAGE,
- 8.** Herbir yöntem için elektroforez sonuçları,
- 9.** Genel değerlendirme,
- 10.** Öneri.

Eritrosit membranı proteinlerini elde etmek amacıyla toplam 50 normal şahıs kanı, K.T.Ü. Farabi Hastanesi kan bankasından temin edildi. EDTA'nın membran proteolizini azaltmada etkili ve hücre lizisi esnasında zararlı proteazlara karşı dirençli olmasından dolayı (38), EDTA'lı tampon kullanan H.Hamaguchi ve H.Cleve'nin metodu (44) modifiye edilerek eritrosit ghostları elde edildi (44). Başlangıçta, Dodge yöntemi (49) yapıldı fakat ghostların daha uzun sürede elde edilmesi, EDTA'lı tamponun seçiminin ikinci nedeni oldu. H.Hamaguchi ve H.Cleve, eritrosit paketlerini 10 mM Tris-0.1 mM EDTA-HCl (pH 7.4) ile yıkayarak 20000 g'de (yaklaşık 13000 rpm'de) 20 dakika santrifüjlemiştir. Oysa bizim çalışmızda zamanandan kazanabilmek maksadıyla devri artırarak, 20000 rpm'de 10'ar dakika aynı tamponla yıkayarak santrifüjleme yapıldı. 5-6 kez yıkama işlemiyle yaklaşık 120 mL kandan yaklaşık 5 mL beyaz eritrosit ghost elde edildi.

Ghosttaki proteinleri açığa çıkarmak maksadıyla, hem polar hemde nonpolar özelliklere sahip bir anyonik deterjan olan SDS kullanıldı (15). 4 mL ghost, 10 mM Tris-0.1

mM EDTA-HCl (pH 7.4) ile 25 mL'ye tamamlanarak %1 SDS ihtiiva eden protein çözeltisi hazırlandı. Bu aşamada SDS, proteinin nonpolar kısımlarına gömülü nonpolar hidrofobik kısımları ile bağlanarak, eritrosit ghostu proteinlerini açığa çıkarmış oldu (37).

SDS'yi proteinlerden uzaklaştırmak için 10 mM Tris-0.1 mM EDTA-HCl (pH 7.4) tamponu ile 2 saatte bir tampon değiştirilerek 10 saat süreyle diyaliz işlemi yapıldı. İşlem sonunda protein çözeltisinin hacminin arttığı gözlendi (11,40). Bu diyaliz işlemi, eritrosit membran proteinlerinden SDS'yi uzaklaştırarak proteinleri amonyum sülfatla çöktürmeye hazır hale getirmek ve elektroforezde numunenin fazla SDS ihtiiva eden numune olarak kaba bantlar meydana getirmesini önlemek bakımından önemliydi.

Farklı amonyum sülfat doygunluklarının, yani amonyum sülfatın eritrosit membranı proteinlerini nasıl ayırdığını gözlemelemek amacıyla farklı yöntemler denendi. Diyaliz sonucu elde edilen protein çözeltileri, birinci yöntemde; %10, %20, %30, %40 ve %50 doygunluğa, ikinci yöntemde; %5, %10, %15, %20, %25, %30, %40, %50, %60, %70 ve %80 doygunluğa ve üçüncü yöntemde; %5, %15, %25, %35, %45, %55, %65, %75 ve %85 doygunluğa getirildi. Her üç yöntemde de, her seferinde süpernatant istenilen doygunluğa getirilerek 12490 rpm'de (19000 g'de) 10 dakika santrifüjlendi. Yöntemler arasında doygunluk farklılıklarının yanısıra, uygulama farklılıklarında vardı. Birinci yöntemde istenilen amonyum sülfat doygunluğuna getirilen süpernatant protein çözeltileri 24 saat +4°C'de bekletildikten sonra santrifüjlenerek, her bir doygunluktaki protein çökelekleri alındı. Diğer yöntemlerde ise istenilen doygunluğa getirilen çözeltiler hemen santrifüjlenip protein çökelekleri alındı. Proteinlerin  $(\text{NH}_4)_2\text{SO}_4$  ile çöktürülmesi yönteminin esasları, dehidratasyon ve hidrofobik etkileşmeleridir (37,38). Burada  $(\text{NH}_4)_2\text{SO}_4$ , protein çözeltisindeki su molekülleriyile etkileşerek, proteinlerden suyu almaktır ve proteinler arası hidrofobik etkileşmeler meydana getirerek proteinlerin çökmesini sağlamaktadır. Birinci yöntemde protein çözeltisi uzun süre amonyum sülfatta bekletildiği için tüm protein molekülerinin daha az amonyum sülfat doygunluklarında çöktüğü gözlendi. Yine bu yöntemde %30'luk  $(\text{NH}_4)_2\text{SO}_4$  doygunluğundan sonraki doygunluklarda çökelen proteinlerde spektrin dimeri hakim iken, beklemesiz yapılan diğer yöntemlerde, başka protein bantlarının gözükmesi, bu sonuca varmamıza neden olmuştur. Ayrıca, bir miktar  $(\text{NH}_4)_2\text{SO}_4$ 'in proteinlerle birlikte çökebileceği düşünülperek, sadece birinci yöntem için ikinci bir diyaliz işlemi yapıldı. Burada amaç, amonyum sülfatın proteinlerin yürümesine ve bantların görünümüne etkisini tespit etmekti. Nitekim, ikinci bir diyaliz işlemi yapılan birinci yöntemde, protein bantlarının diğer yöntemlere göre daha net çıkması,  $(\text{NH}_4)_2\text{SO}_4$  çöktürmesinden sonra diyaliz işleminin tercih edilmesi gereği sonucunu çıkarmıştır.

Ghostlardaki ve herbir doygunluk çökelegindeki protein miktarını tayin etmek ve elektroforeze gereğinden fazla protein koyarak bozuk bantlar elde etmemek için Lowry metodu kullanıldı (38). Bu metod, alkali ortamındaki  $\text{Cu}^{+2}$  metalinin, proteinin peptid

bağlarıyla kompleks oluşturarak  $\text{Cu}^{+2}$ 'e indirgenmesi esasına dayanmaktadır. Amonyum sülfat, Lowry metodunu interfere eder. Bu nedenle, ikinci bir diyaliz işlemi, interferans etkiyi ortadan kaldırabilmek açısından da avantajdı. Fosfomolibdik-fosfotungstat reaktifleri parçalanmadan indirgenmenin meydana gelmesini sağlamak için Folin reaktifi alkali bakır protein çözeltisine ilave edilir edilmez hemen vorteksleme yapıldı. Her bir numunenin ve standartların absorbansi, meydana gelen tungsten mavisi rengine karşı 750 nm'de okundu. Sığır albumini standart olarak kullanılıp hazırlanan grafik (Şekil 4.1) yardımıyla protein miktarları belirlendi. Ghosttaki protein miktarı ortalama olarak  $2.15 \pm 0.06$  bulundu. Bu protein değerleri tablo 4.2.'de verilmiştir.

Ghostaki ve herbir doygunluktaki protein çökelekleri deiyonize suyla dilerek protein konsantrasyonları 2 mg/mL'ye ayarlandı. Protein miktarı 2 mg/mL'nin altında olan numuneler ise direkt işleme tabi tutuldu. Protein çözeltilerine, ilk önce SDS ve 2-merkaptaetanol ilave edilerek kaynar su banyosunda 5 dakika bekletildi (48). Bu aşamada SDS, proteinin ikincil, üçüncü ve dördüncü yapısını bozarken, 2-merkaptoetanol disülfür bağlarını indirgeyerek proteinlerin denatürasyonuna katkıda bulunmuş oldu. Denatüre numuneye, numune yoğunluğunu artırarak, numune kuyularındaki tamponda dağılmmasını önlemek için gliserol, pH'sı 6.8'de tutmak için tampon ve proteinin elektroforezde yürüdüğü yeri izleyebilmek için bromfenol mavisi ilave edildi (39, 41, 43). Böylece, numune kuyularına en fazla 25 µg numune konmuş oldu.

SDS-PAGE'de proteinler moleküler ağırlıkları esasına göre göç etmektedirler (41). Bizim çalışmamızda da moleküler ağırlığı en fazla olan spektrin çok az yürütken, moleküler ağırlığı çok daha az olan tropomiyozin daha hızlı yürüterek jelin alt kısımlarında olduğu gözlandı. Eritrosit membranı proteinlerinin elektroforetik hareketliliğini izleyebilmek için, Laemmli SDS-PAGE kesikli tampon sistemi ile dikey slab jel elektroforez aleti kullanıldı (43). Bu sistemde, tankta, ayırma ve yiğma jellerinde farklı tamponlar kullanıldı. Burada amaç voltaj ve pH gradienti meydana getirmekti. Jelleri hazırlanmasında, akrilamid, bisakrilamid, TEMED, amonyum persülfat, SDS ve jellere uygun tampon kullanıldı. pH'sı 6.8 olan yiğma jeline bir plastik tarak yardımıyla onbeş numune kuyusu meydana getirilerek, daha önceden hazırlanmış pH'sı 6.8 olan denatüre proteinlerin aplikasyonları yapıldı. Slab jellerde böyle fazla numunenin aynı anda uygulanabilmesi önemli bir avantajdır. pH'sı 8.8 olan ayırma jeline protein bantlarının ayrıldığı gözlandı.

Yöntem I için %10'luk ve diğer yöntemler için %8'lük akrilamid konsantrasyonlu ayırma jelleri hazırlandı. %8'lük akrilamid konsantrasyonlu jellerde protein bantlarının daha iyi ayırtıldığı gözlandı. Jellerin iyi bir şekilde olması ve dolayısıyla bantların iyi gözlenebilmesi için, jel hazırlama esnasında oldukça dikkatli olundu ve özellikle jelde hava kabarcıklarının meydana gelmemesine özen gösterildi. Jeldeki zehirli gazları uzaklaştırabilmek ve hava

kabarcığını önlemek için TEMED ilave edilmeden önce, hazırlanan jel çözeltisinin gazları, bir dakika süreyle su trombu kullanılarak uzaklaştırıldı (41).

30 mA'lık sabit akımda yapılan elektroforez sonucu, 0.025 M Tris, 0.192 M glisin ve %0.1 SDS ihtiva eden tank tamponuna çözeltideki konsantrasyonu %0.05 olacak şekilde EDTA ilave edildiğinde bantların nasıl etkileneceği gözlemlenmek istendi. EDTA'sız tank tamponunun pH'sı yaklaşık 8.3 olup elektroforez süresi 4.5-5 saat sürerken (43), EDTA'lı tank tamponunun pH'sı tam 8.3 olup işlem 6-7 saat sürdü. Bu tampon değişimiyle yapılan işlem sonucunda, EDTA'nın hem proteinlerin çözünürlüğünü artırarak hem de tampon pH'sını azaltıp zamanı uzatarak protein bantlarının daha iyi ayrışmasına neden olduğu tespit edildi (Şekil 4.3.1 ile Şekil 4.3.2 ve 4.3.3 karşılaştırıldı).

Elektroforez sonucu proteinlerin boyanmasında Coomassie Brilliant BLue G-250 boyası kullanıldı. Alkol proteinlerin jellerin jellerde sabitleşmesini sağlamada etkili olan bir organik bileşik olduğundan, izopropil alkol ihtiva eden boyalı çözeltisi hazırlandı (49). Boya giderme çözeltisini tekrar kullanabilmek için, jel yıkandıktan sonra Coomassie Brilliant Blue G-250'nin rengini almış çözelti, aktif karbon yatağından geçirilir. Burada aktif karbon boyayı adsorblayarak tutmakta geriye renksiz boyalı çözeltisini vermektedir (50).

Elektroforez sonucu eritrosit membranı protein bantlarının değerlendirilmesinde, elimizde moleküller ağırlık markörü olmadığı için literatürlerde elde edilen bantlar göz önüne alındı (1,2,6,19). Bu nedenle, bantlar hakkında %100 doğruluk verilemeyebilir. Fakat daha önceki çalışmalardaki bantların yeri, şekli, kalınlığı ve koyuluğuna çok dikkat edilerek bir değerlendirme yapıldıgından, bantlar hakkındaki kararlarımızda oldukça büyük doğruluk olduğuna karar verildi. Çalışmada proteinlere spesifik Coomassie Brilliant Blue G-250 boyası kullanıldığından, ancak pas boyası ile gözlenebilen glikoforinler, jellerde gözlenemedi.

Yöntem I'de 30 numune ile çalışıldı. Bu numunelerin ghostlarında tüm bantlar hemen izlenebildi (Şekil 4.3.1, 4.3.2, 4.3.3.). Yalnız iki numunede bant 4.9 oldukça silik çıkmıştır. Oldukça silik çıkan bantların hiçbir dēğerlendirilmeye alınmadı. %10'luk amonyum sülfat doygunluğunda, bant 1, 2, 2.1, 3, 4.1, 5, 6 ve 7 %20'lük doygunlukta bant 1, 2, 2.1, 3 ve 5 tüm numunelerde gözlendi. %30, %40 ve %50'lük doygunluklarda spektrin bantları 1, 2 hakimdi. Fakat %30 ve %40'lük doygunluklarda spektrin bantları belirgin bir şekilde gözlenebilirken, %50'lük doygunlukta ya silik olarak gözlendi ya da hiç gözlenmedi. Bantların 30 numune üzerinden görülebilme oranları Tablo 4.3.1'de verildi. Bantların en fazla görünebildiği amonyum sülfat doygunluğunun %95.5 görülebilme oranıyla %10 doygunluk olduğu tespit edildi (Tablo 4.3.2, Şekil 4.3.4). Ayrıca bu görünebilme oranı, göz önüne alındıgında değerlendirildiğinde, proteinlerin %38.3'ünün %10 doygunlukta bulunduğu kanaatine varıldı (Şekil 4.3.5).

Yöntem II'de 10 numune ile çalışıldı. EDTA'lı tank tamponu kullanılarak yapılan çalışmada, %5'lük amonyum sülfat doygunluğunda bant 1 ve 2 belirli bir şekilde gözlenebilirken, diğer bantlarda ise önemli bir belirginlik gözlenemedi (Şekil 4.4.1). %10'luk doygunlukta, bant 1, 2, 2.1, 4.5, 5 ve 7 %15'lük doygunlukta ise bant 4.9 hariç diğer bantların görülebildiği söylenebilir. %20, %50 ve %60'luk doygunluklarda bant 1, 2, 3 ve 4.1 hakim iken diğer doygunluktarda özellikle spektrin dimerlerinin görüldüğü aşikardır (Tablo 4.4.1). Bu yöntemde bantların en fazla görülebildiği amonyum sülfat doygunluğunun, %88.2 görülebilme oranyyla %15'lük doygunluk olduğu tespit edildi (Tablo 4.4.2 ve Şekil 4.4.2). Bu görülebilme oranı gözönüne alındığında, proteinlerin %17.9'unun %15'lük %15.2'sinin %10'luk doygunlukta çökeldiği belirlendi (Şekil 4.4.3).

Yöntem III'de de yöntem II gibi yine 10 numune ve EDTA'lı tank tamponu ile çalışma yapıldı (Şekil 4.5.1 ve Tablo 4.5.1). Burada protein bantlarının en fazla gözlenebildiği amonyum sülfat doygunluğu, %92.7 görülebilme oranyyla %15 olmuştur (Tablo 4.5.2 ve Şekil 4.5.2). Eritrosit membranı proteinlerinin %23.3'ü bu doygunlukta yer almaktadır (Şekil 4.5.3).

Eritrosit membranı proteinlerinin amonyum sülfatla ayırma yöntemleri arasındaki farklılıklar EK-5'de özetlenmiştir. Bütün bu işlemler neticesinde, herbir doygunlukta elde edilen protein bantlarının sadece doygunlukla değil, aynı zamanda çöktürme sayısıyla ve amonyum sülfatta bekletme süresiyle de değiştiği gözlandı. Tüm yöntemlerde ortak olarak gözlenebilen bir şey var ki o da, spektrinın bütün doygunluklarda gözlenebildiği idi. Ayrıca birden fazla altbirimden meydana gelen proteinlerin tüm doygunluklarda görülebilme oranının daha yüksek olduğu ve farklı doygunlukların anyon değiştirici alt birimlerinin ve ankırın fragmentlerinin gözlenebilmesine imkan verdiği belirlendi.

Literatürlerde gösterilen densitometrik okumalarda bant 4.5 bölgesinde iki pik görülmektedir (19,31,32). Yani bant 4.5'in iki altbirimden meydana geldiği belirtilmektedir. İki boyutlu elektroforezle yapılan çalışmada, band 4.5 bölgesinde bazı polipeptidlerin değişik formları halinde 14 bant gözlenebildiği belirtilmektedir (33). Oysa bizim çalışmamızda, özellikle birinci yöntemde %10 amonyum sülfat doygunluğunda bant 4.5 bölgesinde 3. bir bant daha görüldü. (Şekil 4.3.3). Bu da bizde, bant 4.5'in trimer yapıda olabileceği fikrini uyandırdı. Yine birinci yöntemde %10'luk doygunlukta bant 4.2, iki bant halinde görüldü. Literatürde ise hemolilik anemide iki bant halinde görüldüğü beyan edilmişti (25). Bu nedenle bant 4.2'nin sadece anemide değil, aynı zamanda amonyum sülfatla proteinlerin ayrılması yöntemi ile de iki bant halinde görülebileceği kanaatine varıldı.

Bütün bu çalışmalarımız neticesinde, eritrosit membran proteinlerinin farklı amonyum sülfat yöntemlerinden nasıl etkilendiğini gözlemlendi. Çeşitli hastalık gruplarında, protein alt birimlerinin nasıl etkilenebileceğini gözlemlemeye, proteinleri amonyum sülfatla ayıranın faydalı olabileceğini düşünülmektedir.

## **6. SONUÇ VE ÖNERİLER**

### **Sonuçlar:**

- 1.** H.Hamaguchi ve H.Cleve'in metodu modifiye edilerek elde edilen ghostun protein muhtevası, Lowry metoduyla tayin edilmiş olup ortalama  $2.15 \pm 0.06$  olarak bulundu.
- 2.** 0.025 M tris, 0.192 M glisin, %0.1 SDS ve %0.05 EDTA ihtiva eden tank tamponu kullanıldığında eritrosit membranı proteini bantlarının daha iyi gözlendiği tespit edildi.
- 3.** Protein çözeltileri, amonyum sülftatta uzun süre bekletildiğinde daha çok proteinin çöktüğü gözlandı.
- 4.** Spektrinin, ankirinin ve anyon değiştirici proteinin alt birimlerini, amonyum sülftatla ayırma metoduyla iyi gözlenebildi.
- 5.** %10, %20, %30, %40 ve %50'luk  $(\text{NH}_4)_2\text{SO}_4$  doygunluklarında bir gece bekletme ile yapılan 1. yöntemde tüm bantların en iyi gözlenebildiği doygunluk, %95.5 görülebilme oranı ile %10 olarak bulundu.
- 6.** %5, %10, %15, %20, %25, %30, %40, %50, %60, %70 ve %80'luk  $(\text{NH}_4)_2\text{SO}_4$  doygunluklarında beklemeden yapılan 2.yöntemde tüm bantların en iyi gözlenebildiği doygunluk, %88.2 görülebilme oranı ile %15 olarak bulundu.
- 7.** %5, %15, %25, %35, %45, %55, %65, %75 ve %85'luk  $(\text{NH}_4)_2\text{SO}_4$  doygunluklarında beklemeden yapılan 3.yöntemde tüm bantların en iyi gözlenebildiği doygunluk, %92.7 görülebilme oranı ile %15 oldu.
- 8.** Protein 4.5, amonyum sülfat çökeleklerinde bazen dimer bazende trimer yapıda gözüktü.
- 9.** Protein 4.2 , özellikle 1.yöntemle ve %10'luk amonyum sülfat doygunluğunda, 30 numunenin 28'inde dimer yapıda gözüktü.
- 10.** %8'lük akrilamid konsantrasyonunda bantlar daha iyi ayrıldı.

### **Öneriler:**

- 1.** Bir hastalık grubunda proteinlerin altbirimlerinin nasıl etkilendiğini izlemeye, amonyum sülftatla ayırma yöntemi kullanılabilir.
- 2.** Amonyum sülftatla proteinlerin ayrılması işleminde, 1.yöntem tavsiye edilir.
- 3.** Protein 4.5'in trimer ve protein 4.2'nin dimer yapıda olup olmadığı tespit etmek için yeni çalışmalar yapılabilir.

## **7. ÖZET**

Bu çalışmada, eritrosit membran proteinleri amonyum sülfatla ayırlarak, sodyum dodesil sülfat poliakrilamid jel elektroforeziyle elektroforetik hareketlilikleri izlendi. Bu amaçla farklı yöntemler denendi. Birinci yöntem için 30, ikinci ve üçüncü yöntemler için 10'ar normal numune kullanıldı. %10, %20, %30, %40 ve %50'lük amonyum sülfat doygunlukları ve %10'luk akrilamid konsantrasyonda hazırlanan jel kullanılarak birinci yöntemde, tüm bantların en iyi gözlenebildiği doygunluk %10 oldu. %5, %10, %15, %20, %25, %30, %40, %50, %60, %70, %80 doygunluklarıyla yapılan ikinci yöntemde %15'lük doygunluk ve %5, %15, %25, %35, %45, %55, %65, %75 ve %85 doygunlukları ile yapılan üçüncü yöntemde yine %15'lük doygunluk tüm bantların en iyi gözlenebildiği amonyum sülfat doygunlukları olarak bulundu. İkinci ve üçüncü yöntem için %8'lük akrilamid konsantrasyonlu jeller kullanıldı. Her üç yöntemde de, hemen hemen tüm doygunluklarda spektrin dimerlerine rastlanmıştır. Ayrıca ankirin, protein 4.1, protein 4.2 ve protein 4.5'in alt birimlerde gözlenebilmiştir. Protein 4.2 birinci yöntemde ve özellikle %10'luk doygunlukta dimer halinde görülürken protein 4.5 bazı numunelerde dimer bazlarında ise trimer yapıda görülmüştür.

Ayrıca EDTA'nın proteinlerin ayrışmasına etkisini belirlemek amacıyla EDTA'lı ve EDTA'sız tank tamponu ile yapılan elektroforez neticesinde EDTA'lı tank tamponunun bantlarının iyi gözlenebilmesi açısından daha olumlu sonuç verdiği tespit edilmiştir.

## **8. SUMMARY**

In the present study, erythrocyte membrane proteins were precipitated by ammonium sulfate and then their electrophoretic mobilities were analysed by sodium dodecyl sulfate-polyacrylamide gel electrophoresis (SDS-PAGE) using Laemmli slab gel discontinuous buffer system. For this reason, different methods were examined. 30, 10 and 10 normal samples were used for the first, second and third methods respectively. In the first method, ammonium sulfate saturation of 10%, 20%, 30%, 40% and 50%, and gel with 10% acrylamide concentration were used. The saturation of 10% was the best in which 95.5% of the all bands were observed. For the second method, 5%, 10%, 15%, 20%, 35%, 30%, 40%, 50%, 60%, 70% and 80% saturation, and for the third method, 5%, 15%, 25%, 35%, 45%, 55%, 65%, 75% and 85% saturation were used to obtain erythrocyte membrane polypeptides. Both of the later methods were analysed by gels with 8% acrylamid concentration and 15% saturations were the best for both. However, abundances of their protein bands were different such that while 88.2% of all bands were observed with 15% saturation in second method, 92.7% of all bands were observed with again 15% saturation but in third method. In all of three methods, it was observed spectrin dimer in almost all saturations. Moreover, the subunits of ankirin, protein 4.1, 4.2, and 4.5 could be seen. Protein 4.2 was seen as dimer especially with 10% saturation in the first method. In addition, protein 4.5 was sometimes seen as trimer.

To determine the effect of EDTA on protein separation, reservoir buffers with EDTA and without EDTA were used. In the result of electrophoresis, reservoir buffer with EDTA was better than the other due to the observations of bands.

## **9.KAYNAKLAR**

1. Mathews C K and Holde K E V : Biochemistry. The Benjamin/Cummings Publishing Company, Inc., 1990, pp.308-317, 334.
2. Lux S E and Backer P S : Disorders of the Cell Membrane Skeleton. In the Metabolic Basis of Inherited Disease, J L Goldstein and M S Brown (Eds), Mc Graw Hill Book Co., 1983, pp. 2367-2398.
3. Siegel D L and Branton D : Partial purification and characterization of an actin-bundling protein, band 4.9, from human erythrocytes. *J. Cell Biol.*, 100: 775-785, 1985.
4. Sodeman W A and Sodeman T M : Fizyopatoloji (Çev. Hekimler Birliği Vakfı). İkinci Baskı, Türkiye Klinikleri Yayınevi, Ankara, 1991, s.54, 712-715.
5. Murray R K, Granner D K, Mayes P A, and Rodwell V W : Harper's Biochemistry. Twenty-third ed., Prentice-Hall International Inc., London , 1993, pp. 467-474.
6. Rawn J D : Biochemistry. Neil Peterson Publisher, Burlington, 1989, pp 555-572.
7. Malik S, Sami M and Watts A : A role for band 4.2 in human erythrocyte band 3 mediated anion transport. *Biochemistry*, 32: 10078-10084, 1993.
8. Ideguchi H, Yamada Y, Kanda S, Tamura K and Makino S : Abnormal erythrocyte band 4.1 protein in myelodysplastic syndrome with elliptocytosis. *Br. J. Haematol.*, 85: 387-392, 1993.
9. Styer L : Biochemistry. Third Ed., W H Freeman Company, New York, 1988, pp 283-310, 963.
10. Leninger A L : Principles of Biochemistry. W Orth Publisher, New York, 1982, pp.303-327.
11. Zihnioglu F : Membran Proteinlerinin Deterjanlar ile Çözünürleştirilmesi. Membran Proteinlerinde, A Tefloncu (der.), Ege Univ., Biyokimya Lisansüstü Yaz Okulu, 1995, s. 19-34.
12. Keha E K ve Küfrevoğlu İ : Biyokimya I. Atatürk Üniversitesi Fen Edebiyat Fakültesi Yayınları, Erzurum, 1990, s.178-185.
13. Bhagavan N V : Medical Biochemistry. Jones and Bartlet Publishers, 1992, pp 161-174.
14. Gözükara E : Biyokimya I. 2.baskı, Evin Matbaası, Malatya, 1994, s.42-46.

15. Harris E L V and Angal S : Protein Purification Applications, A Practical Approach. First Ed., Oxford University Press, Oxford, 1989, pp 17-24.
16. Evans W H and Graham J M : Membrane Structure and Function. First Ed., Oxford University Press, Oxford, 1989, pp 17-24.
17. Guyton A C : Tibbi Fizyoloji (Cev. N.Günalp ve H.Çavuşoğlu). Nobel Tip Kitabevi, 3.baskı, 1989, s.59.
18. Lux S and Shonet S B : The erythrocyte membrane skeleton. Biochemistry, Hospital Practice, October: 77-83, 1984.
19. Steck T L : The organization of proteins in the human red blood cell membrane. The Journal of Cell Biology, 62:1-19, 1974.
20. Shanet S B, Beuther E, The Red Cell Membrane. In Hematology, W J Williams, E Beuther, A J Erlev, and A A Lictman (Eds.), 4th Ed., Mc Graw Hill Publishing Company, San Fransisco, London, pp 368-377.
21. Shonet S B and Lux S E : The erythrocyte membrane skeleton: Pathophysiology. Hospital Practice, Nowember: 89-94, 1984.
22. Tyler J M, Reinhart B N and Branton D : Associations of erythrocyte membrane proteins, binding of purified bands 2.1 and 4.1 to spectrin. J. Biol. Chem., 225(14): 7034-7039, 1980.
23. Ralston G B : Proteins of camel erytrocyte membrane. Biochim. Biophys. Acta, 401: 83-94, 1975.
24. Deas J E, Lee L T and Howe C : Periferal proteins of human erythrocytes. Biochem. Biophys. Res. Comm., 82(1): 296-304, 1978.
25. Rybicki A C , Heath R, Wolf J L, Lubin B and Schwartz R S : Deficiency of protein 4.2 in erythrocytes from a patient with a coombs negative hemolytic anemia. Evidence for a role of protein 4.2 in stabilizing ankirin on the membrane. J.Clin.Invest., 81: 893-901, 1988.
26. Bennett V and Stenbuck P J : The membrane attachment protein for spectrin is associated with band 3 in human erythrocyte membranes.Nature, 280: 468-475, 1980.
27. Meuller T J, and Morrison M : The transmembrane proteins in the plasma membrane of normal human erythrocytes. J. Biol. Chem., 249(23): 7568-7573, 1974.
28. Tsuji T, Irimura T and Osawa T : The carbohydrate moiety of band-3 glycoprotein of human erytrocyte membranes. Biochem. J., 187: 677-686, 1980.
29. Wells E and Findlay B C : The isolation of human erythrocyte band-3 polypeptide labelled with a photosensitive hydrophobic probe. Biochem. J., 187: 719-725, 1980.

- 30.** Pappert G and Schubert D : The state of associations of band 3 protein of the human erythrocyte membrane in solutions of nonionic detergents. *Biochim. Biophys. Acta*, 730: 32-40, 1983.
- 31.** Riggs M G and Ingram V M : Differences in erythrocyte membrane proteins and glycoproteins in sickle cell disease. *Biochem. Biophys. Res. Comm.*, 74(1): 191-197, 1977.
- 32.** Gohen S C , Gilman T H , Kauffman J W and Garwin J E : The effect on raman spectra of extraction of peripheral proteins from human erythrocyte membranes. *Biochem. Biophys. Res. Comm.*, 79(3): 805-814, 1977.
- 33.** Whitfield C F, Coleman D B, Kay M M , Shiffer K A , Miller J and Goodman S R : Human erythrocyte membrane proteins of zone 4.5 exist as families of related proteins. *Am. J. Physical.*, 248(1): 70-79, 1985.
- 34.** Horne W C, Miettinen H, Marchesi V T : Erythrocyte membrane skeleton phosphoproteins identification of two unrelated phosphoproteins in band 4.9. *Biochim. Acta*, 944(2): 135-43, 1988.
- 35.** Haris R A : Carbohydrate Metabolism I, Major Metabolic Pathways and Their Control. In *Textbook of Biochemistry with clinical Correlations*, T M Delvin (Ed.), Second Ed., A. Wiley Medical Publication, New York, 1986, pp 270-272.
- 36.** Harper H A : Fizyolojik Kimyaya Bakış. (Çev. Namık Kemal Menteş ve Gülriz Menteş), 14. Baskı, Ege Üniv., Tip Fakültesi Yayınları, İzmir, 1976, s.317-320.
- 37.** Robyt J F and White B J : *Biochemical Techniques, Theory and Practice*. Waveland Press, Inc., Waveland, 1987, pp 129-144.
- 38.** Deutscher M P : Guide to Protein Purification. In *Methods in Enzymology*, J N Abelson and M I Simon (Eds.), Volume 182, Academic Press, California, 1990, pp 57-59, 72-75.
- 39.** Boyer R F : Modern Experimental Biochemistry. Second Ed., The Benjamin/Cummings Publishing Company Inc., Redwood City, 1990, pp 42-44, 75, 81, 82, 115-145.
- 40.** Scopes R K : Protein Purification Principles and Practice. Second Ed., New York, 1982, pp 17-19, 39-54.
- 41.** Hames B D : One-Dimensional Polycrylamid Gel Electrophoresis. In *Gel Electrophresis of Protein. A Practical Approach*, B D , Hames and D Rickwood (Eds.), Second Ed., Oxford University Press, New York, 1990, pp 1-59.
- 42.** Cooper T G : The Tools of Biochemistry. John Wiley and Sons, New York, 1977, pp 194-211, 368-374.

43. Hoefer Slab Gel Electrophoresis Instructions Manual. Hoefer Scientific Instruments, California, 1992.
44. Hamaguchi H and Cleve H : Solubilization of human erythrocyte membrane glycoproteins and separation of the MN glycoprotein from a glycoprotein with I, S, and A activity. *Biochim. Biophys. Acta*, 278: 271-280, 1972.
45. Jones O T , Earnest J P and McNamee M G : Solubilization and Reconstitution of Membrane Proteins. In *Biological Membranes a Practical Approach*, J B C Findlay and W H Evans (Eds.), Oxford University Press , New York, 1990, pp 139-145.
46. Küfrevoğlu Ö İ, Şakiroğlu H ve Demir N : *Biyokimya Laboratuar Ders Notları*. Atatürk Üniversitesi Fen Edebiyat Fakültesi Yayınları, Erzurum, 1993, s.10, 11.
47. Knüfermann H, Bhakdi S and Wallach D F H : Rapid preparative isolation of major erythrocyte membrane proteins using polyacrylamid gel electrophoresis in sodium dodecyl sulfate. *Biochim. Biophys. Acta*, 389: 464-476, 1975.
48. Smith B J : SDS Polyacrylamid Gel Electrophoresis of Proteins. In *Methods in Molecular Biology, Proteins*, J M Walker (Ed.), Humana Press Inc., New Jersey, 1984, pp 41-55.
49. Fairbanks G, Steck T L and Wallach D F H : Electrophoretic analysis of the major polipeptides of the human erytrocyte membrane. *Biochemistry*, 10(13): 2606-2617, 1977.
50. Austin G T : *Shreve's Chemical Process Industries*. Fifth Ed., Mc Graw Hill International Editions, New York, 1984, pp 133-138.

## **EKLER**

### ***EK-1. Membranların Bileşimi***

***Tablo EK-1. Bazı Membranların Lipid, protein ve karbohidrat muhtevası(1).***

Membran	Protein (%)	Lipid (%)	Karbohidrat (%)
Miyelin	18	79	3
İnsan Eritrositi Plazma membranı	49	43	8
Sığır Retinal Çubuğu	51	49	0
Mitokondri Dış membranı	52	48	0
Amip plazma membranı	54	42	4
Sarkoplazmik retikulum	67	33	0
Kloroplast lameli	70	30	0
Gram pozitif bakteri	75	25	0
Mitokondri iç membranı	76	24	0

## **EK-2. Eritrositlerin Bileşimi**

**Tablo EK-2.1. Eritrositlerin su ve protein muhtevası(20).**

Bileşen	RBC (mg/mL)
Su	721 ± 17.3
Toplam protein	371
Hemoglobin harici protein	9.2
Çözünmeyen stroma proteini	6.3
Enzim Proteinleri	2.9

**Tablo EK-2.2. Eritrosit membranı lipid muhtevası(4).**

Lipid	(%)
Kolesterol	25
Glikolipid	15
Fosfolipid	60 (%)
<hr/>	
Fosfatidilkolin	30
Fosfatidilserin	14
Fosfatidiletanolamin	28
Sfingomiyelin	25

### ***Ek 3. Eritrosit Membanı Proteinleri***

***Tablo Ek 3.1. Eritrosit Membranı Proteinlerinin Fonksiyonları (1,2).***

<b><i>Protein Adı</i></b>	<b><i>Fonksiyonu</i></b>
Spektrin	Membran iskeletindeki ağımsı yapıyı meydana getirir. Diğer proteinlerle etkileşerek kırmızı hücre membranının şeklini düzenler.
Ankirin	Spektrin ağını anyon kanalına bağlar. Bant 3'ün transmembran bölgesinin modulatöridür.
Adüsın	Spektrinin aktine bağlanması artırır.
Anyon Kanalı	$\text{Cl}^-$ ve $\text{HCO}_3^-$ iyonlarının membrandan geçişlerini sağlayarak, elektrolit dengesine katkıda bulunur.
Protein 4.1	Glikofirinin sitozole bakan yüzeyini spektrin-aktin kompleksine bağlar.
Protein 4.2	Protein 3'ün sitoplazmik bölgesi ile etkileşerek anyon transportunun düzenlenmesinde rol oynar. Ayrıca ankirin ile etkileşerek, ankirinin membranda sabit kalmasını sağlar.
Protein 4.9	Eritrosit membranı iskeletinin stabilliğini sağlar. In vitro olarak, aktine bağlanarak aktin filamentlerini kablo halinde paketler.
Aktin	Spektrinleri birbirine bağlayarak iskelet ağının oluşumuna katkıda bulunulur.
G3PDH	Oksidasyondan sorumlu glikolitik enzimdir.
Tropomiyozin	Aktin moleküllerini birarada tutar.
Glikoforin	Hücre tanınmasında rolleri vardır. Spektrin-aktin kompleksine protein 4.1 aracılığıyla bağlanır.

G3PDH: Gliseraldehit 3 Fosfat Dehidrogenaz

**Tablo EK-3.2. Tablo Eritrosit Membranın Proteinlerinin Genel Özellikleri (1,2).**

<b>Protein Bandı</b>	<b>Adı</b>	<b>Moleküler Ağırlığı</b>	<b>Yerleşimi</b>	<b>Hücre başına kopya sayısı</b>	<b>% Ağırlık oranı</b>
<b>1</b>	$\alpha$ -Spektrin	240000	P	100000	27
<b>2</b>	$\beta$ -Spektrin	220000	P		
<b>2.1</b>	Ankirin	210000	P	100000	6
<b>2.2</b>		195000	P		
<b>2.3</b>		175000	P		
<b>2.6</b>		145000	P		
-	Adüsün	103000	P	30000	1
-		97000	P		
<b>3</b>	Anyon değiştirici protein	100000	I	1100000	30
<b>4.1</b>	—	80000/78000	P	200000	5
<b>4.2</b>	—	72000	P	250000	5
<b>4.5</b>	—	55000	I	1500000	
<b>4.9</b>	—	45000	P	30000	0.5
<b>5</b>	Aktin	43000	P	400000	5
<b>6</b>	G3PDH	35000	P	500000	5
<b>7</b>	Tropomiyozin	29000/27000	I	500000	4
<b>8</b>	—	23000	P	200000	1-2
<b>GPA</b>		31000	I	500000	1.6
<b>GPB</b>		23000	I	100000	0.3
<b>GPC</b>		29000	I	50000	0.1

GP : Glikoforin

G3PDH : Gliseraldehit 3-fosfat dehidrogenaz

I : İntegral

P : Periferal

**EK - 4. Amonyum Sulfat Doygunluk Nomogramı.**

		Son Amonyum Sulfat Konsantrasyonu, % doygunluk																
		10	20	25	30	33	35	40	45	50	55	60	65	70	75	80	90	100
İlk Amonyum Sulfat Konsantrasyonu, % doygunluk	1 L çözeltiye ilave edilecek amonyum sulfat (g)																	
	0	56	114	144	176	196	209	243	277	313	351	390	430	472	516	561	662	767
	10		57	86	118	137	150	183	216	251	288	326	365	406	449	494	592	694
	20			29	59	78	91	123	155	189	225	262	300	340	382	424	520	619
	25				30	49	61	93	125	158	193	230	267	307	348	390	485	583
	30					19	30	62	94	127	162	198	235	273	314	356	449	546
	33						12	43	74	107	142	177	214	252	292	333	426	522
	35							31	63	94	129	164	200	238	278	319	411	506
	40								31	63	97	132	168	205	245	285	375	469
	45									32	65	99	134	171	210	250	339	431
	50										33	66	101	137	176	214	302	392
	55											33	67	103	141	179	264	353
	60												34	69	105	143	227	314
	65													34	70	107	190	275
	70														35	72	153	237
	75														36	115	198	
	80															77	157	
	90																79	

**Sekil EK-4.** Farklı amonyum sulfat doygunlukları için 1 L çözeltiye ilave edilmesi gereken amonyum sulfat miktarlarını gösteren nomogram (42).

**Ek 5. Eritrosit Membran Proteinlerini Amonyum Sulfatla Ayırma Yöntemleri Arasındaki Farklılıklar**

	<i>Yöntem I</i>	<i>Yöntem II</i>	<i>Yöntem III</i>
%Amonyum sulfat doygunlukları	10, 20, 30, 40, 50	5, 10, 15, 20, 25, 30, 40, 50, 60, 70, 80	5, 15, 25, 35, 45, 55, 65, 75, 85
Amonyum sulfatla bekleme süresi	24 saat	-----	-----
Amonyum sulfatın diyalizle uzaklaştırılması	Yapıldı	Yapılmadı	Yapılmadı
Ayrma jelinin akrilamid %'si	10	8	8
Tüm bantların görülebildiği doygunluk	10	15	15
Tüm bantların en fazla görülebilme oranı (%)	95.5	88.2	92.7
Toplam proteinin, en fazla bandın görüldüğü doygunluktaki dağılımı (%)	38.3	17.9	23.3

## **ÖZGEÇMİŞ**

1970 yılında Artvin'in Hopa ilçesinde dünyaya geldi. İlkokula Ankara'da başladı. İlk, orta ve lise tahsilini Trabzon'da tamamladı. 1987 yılında, Orta Doğu Teknik Üniversitesi Mühendislik Fakültesi Kimya Mühendisliği Bölümü'ne girdi. 1993 Haziran'ında bu bölümden Kimya Mühendisi ünvanı ile mezun oldu. 1993 Eylül'ünde K.T.Ü. Sağlık Bilimleri Enstitüsü Biyokimya Anabilim Dalı'nda Yüksek Lisansa başladı. 1994 Nisan'ından itibaren K.T.Ü. Sağlık Bilimleri Enstitüsü'nde Araştırma Görevlisi olarak çalışmaktadır.